

МИНИСТЕРСТВО ОБРАЗОВАНИЯ РОССИЙСКОЙ ФЕДЕРАЦИИ

---

МОСКОВСКИЙ ЭНЕРГЕТИЧЕСКИЙ ИНСТИТУТ  
(ТЕХНИЧЕСКИЙ УНИВЕРСИТЕТ)

---

А.В. КОРЕЦКИЙ, Н.В. ОСАДЧЕНКО

**КОМПЬЮТЕРНОЕ МОДЕЛИРОВАНИЕ КИНЕМАТИКИ  
МАНИПУЛЯЦИОННЫХ РОБОТОВ**

МЕТОДИЧЕСКОЕ ПОСОБИЕ  
ПО КУРСУ  
“Вычислительная механика”

для студентов, обучающихся по специальности  
“Роботы и робототехнические системы”

УДК  
621.398  
К 664  
УДК: 621.398.–506.29.001.57(072)

*Утверждено учебным управлением МЭИ*

*Подготовлено на кафедре теоретической механики*

**Корецкий А.В., Осадченко Н.В.**

Компьютерное моделирование кинематики манипуляционных роботов. – М.: Издательство МЭИ, 2000. – 48 с.

Рассматриваются вопросы моделирования кинематики манипуляционных роботов с использованием компьютера. Приводится ряд сведений из теории винтов, формализм которой играет в дальнейшем изложении роль основного инструмента при кинематическом анализе манипуляторов. Даются рекомендации по выполнению заданий лабораторного практикума по кинематике манипуляторов. Излагается порядок работы с типовой программой **kin\_31.c** и программным комплексом **УМ**.

Для студентов, обучающихся по направлению “Прикладная механика” и специальности “Роботы и робототехнические системы”.

## Введение

В предлагаемом методическом пособии рассматриваются задачи кинематического анализа манипуляционных роботов. Исполнительные механизмы манипуляционных роботов – это пространственные механизмы, характеризующиеся большим числом степеней свободы и описываемые достаточно сложными уравнениями. Решение таких задач обычно связано с проведением компьютерного моделирования.

В настоящее время компьютерное моделирование систем твёрдых тел с большим числом степеней свободы оформилось в самостоятельный раздел вычислительной механики, переживающий процесс бурного развития и привлекающий внимание многочисленных исследовательских коллективов. За последние двадцать лет опубликовано немало монографий и статей по вопросам автоматизированного формирования уравнений движения многозвенных механических систем и методам их численного исследования, так что характерный для данной области механики теоретический и алгоритмический аппарат достаточно развит. В то же время остаётся актуальной проблема отбора приёмов решения типовых задач, в разумной мере сочетающих универсальность, простоту использования и вычислительную эффективность.

Рассматриваемые в пособии задачи включены в лабораторный практикум по курсу вычислительной механики, читаемому в МЭИ для студентов, специализирующихся в области робототехники. Разбор данных задач предваряется обзором основных сведений из теории винтов, формализм которой играет в последующем изложении роль основного инструмента.

Применение метода винтов позволило разработать достаточно простой и эффективный алгоритм кинематического анализа шестизвенного манипулятора. Данный алгоритм был реализован в виде типовой программы **kin\_31.c**, написанной на языке Си и рассчитанной на персональные компьютеры класса **PC IBM**. На основе этой типовой программы студенты могут создавать собственные программы для решения задач практикума.

При решении рассматриваемых задач предусматривается также использование программного комплекса “Универсальный механизм” (УМ). Комплекс может применяться как в учебных, так и в научных целях. Он позволяет эффективно решать задачи кинематического и динамического анализа для широкого класса пространственных механизмов и, в частности, робототехнических систем. В пособии изложен порядок работы с этим комплексом при решении задач кинематики роботов-манипуляторов.

## Глава 1. Метод винтов и его применение для кинематического анализа манипуляционных роботов

### 1.1. О моделировании в вычислительной механике

Компьютерное моделирование систем твёрдых тел – перспективное направление в исследовании пространственных механизмов.

Поскольку с ростом сложности проектируемых систем их аналитическое исследование становится всё более затруднительным, а создание опытных образцов обходится всё дороже, то моделирование механических систем на компьютере зачастую оказывается ведущим (а то и единственным) доступным методом исследования.

Процесс моделирования включает в себя два этапа: создание *математической модели* системы и её исследование (с использованием, в частности, разнообразных численных методов). Модель должна одновременно удовлетворять двум требованиям: правильно отражать основные особенности моделируемой системы и быть достаточно простой для эффективного применения методов численного анализа.

Понятие “математическая модель” в вычислительной механике по своей сути двойственно. Для человека-исследователя математической моделью реальной системы служит [4] некоторая *математическая структура* (т.е. знаковая система, представляющая некое множество объектов с заданной системой отношений между ними), причём объекты этой структуры трактуются как идеализированные реальные вещи, а отношения между объектами – как конкретные связи между элементами действительности. Для компьютера математическая модель реальной системы выступает как совокупность *данных*, размещённых в его памяти и содержащих всю информацию об этой системе, существенную для процесса моделирования.

В связи с этим проблема разработки математических моделей для того или иного класса реальных систем включает два аспекта, которые можно назвать абстрактно-математическим и информационным. С одной стороны, итогом построения модели должна быть некоторая знаковая система, а с другой – некоторая структура данных. В целом же в задачах вычислительной механики можно выделить три *уровня моделирования* [5]: инвариантный, координатный и программный. Первые два из них отражают абстрактно-математический аспект моделирования, а третий связан с информационным аспектом.

На инвариантном уровне модель представляется в наиболее компактном и удобном для восприятия виде, не загромождённом вносимой извне дополнительной структурой. В задачах вычислительной механики при этом используют, прежде всего, аппарат линейной алгебры (включая такие понятия, как векторы, линейные и аффинные отображения). Координатный уровень позволяет ввести количественные характеристики моделируемых процессов. На этом уровне векто-

рам соответствуют вектор-столбцы и их компоненты, а отображениям – матрицы. На программном уровне моделирования модель представляется в виде структуры данных; столбцам и матрицам обычно сопоставляются массивы, функциям – процедуры.

Для практики моделирования представляется удобной и полезной возможность отдельно рассматривать понятия, относящиеся к различным уровням моделирования, и попеременно переключаться с одной точки зрения на другую при рассмотрении конкретных соотношений. При этом можно на инвариантном уровне моделирования дать максимально компактную формулировку основных алгоритмов, а специфические тонкости, связанные с выбором систем координат и программной реализацией алгоритмов, трактовать уже как детализацию полученных соотношений (носящую во многом рутинный характер).

## 1.2. Матрично-операторные методы в кинематике абсолютно твёрдого тела

В настоящем пособии основным аппаратом описания кинематики пространственных механизмов служит метод винтов [6], который в последние годы получает всё большее распространение в механике роботов. Это связано как с его достаточно высокой вычислительной эффективностью [1, 7–9], так и с тем, что данный формализм возникает как результат применения стандартных подходов современной линейной алгебры и обеспечивает, в определённом смысле, наиболее естественный способ описания движения твёрдого тела.

Заметим, что в кинематике можно выделить три основных раздела: геометрию движения (изучает перемещения точек и тел без учёта конкретной зависимости их от времени), теорию скоростей и теорию ускорений. Займёмся сперва геометрией движения.

К числу фундаментальных понятий механики относится понятие *системы отсчёта*. Под системой отсчёта (СО) понимается [10] произвольная геометрическая твёрдая среда, относительно которой рассматривается движение точек и тел. В математическом плане геометрическая твёрдая среда есть *евклидово точечное пространство* (т.е. аффинное пространство, для которого пространство свободных векторов евклидово – в нём введена операция скалярного умножения).

С любым абсолютно твёрдым телом (реальным или воображаемым) можно жёстко связать некоторую СО – *связанную систему отсчёта*. В дальнейшем, рассматривая тот или иной механизм, будем предполагать его звенья пронумерованными и обозначать СО, связанную с  $j$ -м звеном, через  $\mathcal{E}_j$ . Предположим также, что зафиксирована некоторая СО, которую назовём *условно неподвижной системой отсчёта* и обозначим  $\mathcal{E}$  (при изучении движения механизмов естественно связать  $\mathcal{E}$  с основанием:  $\mathcal{E} = \mathcal{E}_0$ ).

Рассмотрим сперва геометрию движения одного абсолютно твёрдого тела и обозначим через  $\mathcal{E}^*$  связанную с ним систему отсчёта.

Следуя [11, 12], будем проводить различие между точками самого тела и положениями, которые они занимают в СО  $\mathcal{E}$  в текущий момент времени  $t$ . Именно, точки геометрической твёрдой среды  $\mathcal{E}^*$  будем называть *телесными точками* и помечать звёздочкой.

Таким образом, если  $M^* \in \mathcal{E}^*$  – какая-либо телесная точка, то  $M \in \mathcal{E}$  – её текущее положение. Аналогично, если  $\mathcal{V}^*$  и  $\mathcal{V}$  – пространства свободных векторов для точечных пространств  $\mathcal{E}^*$  и  $\mathcal{E}$ , то вектор  $\overline{M^*N^*} \in \mathcal{V}^*$  служит примером вектора в связанной СО (*телесного вектора*), причём в условно неподвижной СО ему в текущий момент времени соответствует вектор  $\overline{MN} \in \mathcal{V}$ .

Компактные и выразительные средства для записи различных соотношений и формул, относящихся к аффинной геометрии, предоставляет *барицентрическое исчисление* [3, 13]. Символика его проста: операцию откладывания вектора  $\bar{\mathbf{u}}$  от точки  $M$ , т.е. нахождения точки  $N$ , для которой  $\overline{MN} = \bar{\mathbf{u}}$ , обозначают как обычное сложение:  $N = M + \bar{\mathbf{u}}$  или  $N = \bar{\mathbf{u}} + M$ , а обратную ей операцию получения вектора  $\bar{\mathbf{u}} = \overline{MN}$  – как вычитание:  $\bar{\mathbf{u}} = N - M$ .

При этом понятие суммы точек не определено; в общем случае линейная комбинация точек  $P_0, \dots, P_k$  с коэффициентами  $\lambda_i$  в барицентрическом исчислении имеет смысл в следующих двух случаях:

- 1) при  $\sum_i \lambda_i = 1$  (*барицентрическая* линейная комбинация);
- 2) при  $\sum_i \lambda_i = 0$  (*сбалансированная* линейная комбинация).

В первом из этих случаев комбинация трактуется как точка  $M = Q + \sum_i \lambda_i (P_i - Q)$ , а во втором – как вектор  $\bar{\mathbf{u}} = \sum_i \lambda_i (P_i - Q)$  (в обоих случаях результат от выбора точки  $Q$  не зависит).

Удобство символики барицентрического исчисления – в облегчении автоматизации различных геометрических выкладок. К тому же в этих выкладках можно применять обычные алгебраические правила преобразования сумм и разностей, не заботясь об интерпретации промежуточных результатов.

Точки  $P_0, \dots, P_k$  в аффинном пространстве  $E$  называют *аффинно независимыми*, если ни одна из них не является барицентрической комбинацией остальных. Совокупность всевозможных барицентрических комбинаций конечных подсемейств точек множества  $F \subset E$  называется [3] *аффинной оболочкой* этого множества и представляет собой линейное многообразие в  $E$ .

Заметим, что связанная СО  $\mathcal{E}^*$  является не чем иным, как аффинной оболочкой твёрдого тела.

Если пространство  $E$   $n$ -мерно, то оно само является аффинной оболочкой произвольного семейства  $P_0, \dots, P_n$  аффинно независимых

своих точек. При этом любая точка  $M \in E$  однозначно представима в виде барицентрической комбинации

$$M = \sum_j \lambda_j P_j;$$

в этом контексте семейство  $\{P_j\}_{j=0}^{j=n}$  называется *точечным базисом* в  $E$ , а числа  $\lambda_j$  – *барицентрическими координатами* точки  $M$ . Введение точечных базисов и барицентрических координат обеспечивает переход на координатный уровень моделирования.

Пусть теперь  $E$  и  $E'$  – два аффинных пространства. Рассмотрим *аффинное отображение*  $\alpha: E \rightarrow E'$ , т.е. такое отображение, что для любой барицентрической комбинации точек из  $E$  справедливо

$$\alpha\left(\sum_j \lambda_j P_j\right) = \sum_j \lambda_j \alpha(P_j). \quad (1)$$

Для аффинных отображений понятие барицентрической комбинации также имеет смысл. Так, разностью отображений  $\alpha$  и  $\beta$  является отображение  $\gamma: E \rightarrow V'$ , определяемое равенством

$$\forall M \in E \quad \gamma(M) = \alpha(M) - \beta(M).$$

Если взять в  $E$  и  $E'$  точечные базисы  $\{P_j\}_{j=0}^{j=n}$  и  $\{P'_i\}_{i=0}^{i=m}$  и разложить по ним произвольную точку  $M$  и её образ  $\alpha(M)$ :

$$M = \sum_j \lambda_j P_j, \quad \alpha(M) = \sum_i \mu_i P'_i,$$

то в силу (1) получаем

$$\alpha(M) = \sum_{j=0}^n \lambda_j \alpha(P_j) = \sum_{j=0}^n \lambda_j \sum_{i=0}^m \alpha_{ij} P'_i \equiv \sum_{i=0}^m \mu_i P'_i;$$

откуда, обозначая через  $\lambda$  и  $\mu$  столбцы из соответствующих коэффициентов, имеем

$$\mu = B_\alpha \lambda. \quad (2)$$

Матрица  $B_\alpha$  в (2) – *барицентрическая матрица* отображения  $\alpha$ . Её коэффициенты  $\alpha_{ij}$  (*барицентрические компоненты* этого отображения) определяются формулами

$$\alpha(P_j) = \sum_{i=0}^m \alpha_{ij} P'_i.$$

Всякому аффинному отображению  $\alpha: E \rightarrow E'$  ставится в соответствие [12, 14] линейный оператор  $\bar{\mathbf{A}}: V \rightarrow V'$ , обозначаемый  $\nabla \alpha$  и называющийся *линейным оператором, ассоциированным* с аффинным отображением  $\alpha$ . Он однозначно определяется равенством

$$\bar{\mathbf{A}} \bar{\mathbf{u}} = \alpha(M + \bar{\mathbf{u}}) - \alpha(M) \quad \forall M \in E, \quad \forall \bar{\mathbf{u}} \in V. \quad (3)$$

На координатном уровне ассоциированный линейный оператор представляется той же матрицей  $B_\alpha$ , что и само отображение  $\alpha$ .

Введение точечных базисов лежит в основе формализма барицентрических координат. Этот формализм позволяет интерпретировать на координатном уровне различные формулы с участием точек и аффинных отображений, не привлекая аппарат векторов и ассоциированных линейных операторов. Впрочем, барицентрические координаты – не единственное средство координатного описания в аффинной геометрии.

Характерный для барицентрического исчисления единообразный подход к точкам и векторам позволяет, наряду с точечными, ввести в рассмотрение *смешанные* базисы, состоящие из точек и векторов.

Так, перейдём от точечного базиса  $\{P_j\}_{j=0}^{j=n}$  в пространстве  $E$  к *точечно-векторному базису*, состоящему из  $n$  векторов

$$\bar{\mathbf{e}}_j = P_j - P_n, \quad j = 0, \dots, n-1,$$

и одной-единственной точки  $P_n$ .

Любая точка  $M \in E$  и любой вектор  $\bar{\mathbf{u}} \in V$  однозначно представимы в виде линейных комбинаций элементов нового базиса. Коэффициенты этих комбинаций называются *однородными координатами* точки  $M$  и вектора  $\bar{\mathbf{u}}$ .

Однородными координатами точки  $M$  называют также [3] любые наборы коэффициентов, получающиеся из введённых в предыдущем абзаце умножением на произвольное число, отличное от нуля (впрочем, нам это обобщение не понадобится).

Выясним, как связаны между собой однородные и барицентрические координаты (полученные выводы будут справедливы, если точечно-векторный базис получается из исходного точечного изложенным выше способом).

Заметим, что векторы  $\{\bar{\mathbf{e}}_j\}$  образуют базис (обычный) в пространстве свободных векторов  $V$ , так что в выражении вектора  $\bar{\mathbf{u}}$  через элементы точечно-векторного базиса точка  $P_n$  вообще не принимает участия. Поэтому первые  $n$  однородных координат вектора  $\bar{\mathbf{u}}$  совпадают с его компонентами  $u_j$ , а  $u_n = 0$ .

Пусть теперь вектор  $\bar{\mathbf{u}}$  есть радиус-вектор точки  $M$  относительно полюса  $P_n$ :

$$M = \bar{\mathbf{u}} + P_n = \sum_{j=0}^{j<n} u_j \bar{\mathbf{e}}_j + 1 \cdot P_n;$$

следовательно, первые  $n$  однородных координат точки  $M$  совпадают с компонентами её радиуса-вектора, а последняя равна единице.

Пользуясь тем, что  $\bar{\mathbf{e}}_j = P_j - P_n$ , получаем:

$$M = \sum_{j=0}^{j<n} u_j P_j + \left(1 - \sum_{j=0}^{j<n} u_j\right) P_n, \quad \bar{\mathbf{u}} = \sum_{j=0}^{j<n} u_j P_j + \left(-\sum_{j=0}^{j<n} u_j\right) P_n.$$

Таким образом, первые  $n$  барицентрических координат точки (или вектора) совпадают с соответствующими однородными координатами; значение последней координаты для точки вполне определяется условием барицентричности, а для вектора – условием сбалансированности.



Получим теперь матричное представление аффинного отображения  $\alpha: E \rightarrow E'$  в однородных координатах.

Введём вместо точечного базиса  $\{P_i'\}_{i=0}^{i=m}$  в пространстве  $E'$  точечно-векторный (как это делалось выше для пространства  $E$ ), положив

$$\bar{\mathbf{e}}'_i = P_i' - P_m', \quad i = 0, \dots, m-1.$$

Нетрудно убедиться, что столбец однородных координат точки  $\alpha(M) \in E'$  можно вычислить, умножая столбец однородных координат точки  $M \in E$  на матрицу, имеющую такое блочное представление:

$$\begin{pmatrix} A & p \\ 0 & 1 \end{pmatrix},$$

где  $A$  – матрица оператора  $\bar{\mathbf{A}} \equiv \nabla \alpha$  относительно базисов  $\{\bar{\mathbf{e}}_j\}$  и  $\{\bar{\mathbf{e}}'_i\}$ , а  $p$  – столбец компонент вектора  $\alpha(P_n) - P_m'$ .

При этом компоненты матрицы  $A$  и столбца  $p$  выражаются через барицентрические компоненты отображения  $\alpha$  следующим образом:

$$a_{ij} = \alpha_{ij} - \alpha_{in}, \quad p_i = \alpha_{in};$$

здесь  $i = 0, \dots, m-1$ ,  $j = 0, \dots, n-1$ .

Записанные формулы позволяют также найти первые  $m$  строк барицентрической матрицы  $B_\alpha$ , если известны  $A$  и  $p$ . Последнюю же строку матрицы  $B_\alpha$  легко получить, пользуясь барицентричностью её столбцов:

$$\alpha_{mj} = 1 - \alpha_{0j} - \dots - \alpha_{m-1,j}, \quad j = 0, \dots, n.$$

Вернёмся к геометрии движения абсолютно твёрдого тела.

Когда говорится о движении тела в какой-либо системе отсчёта (например,  $\mathcal{E}$ ), то это значит, что в каждый момент времени  $t$  любой точке  $M^*$  тела сопоставлено её текущее положение  $M$  (иными словами, для каждого  $t$  задано отображение точек тела в пространство  $\mathcal{E}$ ). Это отображение называется [12] *конфигурацией тела* (в данной системе отсчёта) и далее обозначается  $\kappa$ . Для абсолютно твёрдых тел (в отличие от ситуации в механике сплошных сред) оно продолжается на все пространство  $\mathcal{E}^*$  и является аффинным отображением.

Более того, отображение  $\kappa: \mathcal{E}^* \rightarrow \mathcal{E}$  сохраняет расстояния и, следовательно, является изометрией. Поэтому ассоциированный с  $\kappa$  линейный оператор  $\bar{\Gamma}: \mathcal{V}^* \rightarrow \mathcal{V}$  оказывается ортогональным оператором:  $\bar{\Gamma}^{-1} = \bar{\Gamma}^\top$ . Символ  $^\top$  здесь обозначает транспонирование: *транспонированный оператор* для оператора  $\bar{\mathbf{C}}: X \rightarrow Y$  – это оператор  $\bar{\mathbf{C}}^\top: X \rightarrow Y$ , определяемый [15] с помощью скалярного произведения тождеством

$$(\bar{\mathbf{v}}, \bar{\mathbf{C}}^\top \bar{\mathbf{w}}) = (\bar{\mathbf{C}} \bar{\mathbf{v}}, \bar{\mathbf{w}}) \quad \forall \bar{\mathbf{v}} \in X, \quad \forall \bar{\mathbf{w}} \in Y.$$

Оператор  $\bar{\Gamma}$  носит название *оператора ориентации* абсолютно твёрдого тела. Для каждого  $t$  он устанавливает взаимно однозначное соответствие между телесными и пространственными векторами.

Из определения ассоциированного линейного оператора (3) следует, что текущее положение любой телесной точки  $B^*$  можно найти, если известны положение некоторой фиксированной точки (*полюса*)  $A^*$  и оператор ориентации:  $B = A + \bar{\mathbf{r}}^*$ , где  $\bar{\mathbf{r}}^* = \overline{A^*B^*} = \text{const}$ . Переходя к радиусам-векторам  $\bar{\mathbf{r}}_A = A - O$ ,  $\bar{\mathbf{r}}_B = B - O$ , где  $O$  – полюс в  $\mathcal{E}$ , получаем основную формулу геометрии движения (в векторном представлении):

$$\bar{\mathbf{r}}_B = \bar{\mathbf{r}}_A + \bar{\mathbf{\Gamma}} \bar{\mathbf{r}}^*. \quad (4)$$

Для перехода на координатный уровень моделирования достаточно в основной формуле геометрии движения заменить векторы столбцами их компонент, а оператор ориентации – его матрицей  $\Gamma$ .

Разумеется, вместо использования оператора ориентации и радиуса-вектора полюса можно оперировать непосредственно с самим отображением  $\varkappa$ . При этом равенство  $B = \varkappa(B^*)$  в соответствии с (2) переходит на координатном уровне в формулу

$$b = B_\varkappa b^*, \quad (5)$$

где  $b$  и  $b^*$  – столбцы барицентрических координат точек  $B$  и  $B^*$  (основная формула геометрии движения в барицентрическом представлении).

Перейдём теперь к теории скоростей.

Определения производных от точки и аффинного отображения в символике барицентрического исчисления выглядят так же, как для скаляров и векторов. В частности, для текущего положения  $B$  телесной точки  $B^*$  (оно, разумеется, меняется с течением  $t$ :  $B = B(t)$ ) производная по времени совпадает с вектором её скорости:

$$\begin{aligned} \dot{B} &\equiv \frac{dB}{dt} = \lim_{\Delta t \rightarrow 0} \frac{B(t + \Delta t) - B(t)}{\Delta t} = \lim_{\Delta t \rightarrow 0} \frac{B(t + \Delta t) - O - (B(t) - O)}{\Delta t} = \\ &= \lim_{\Delta t \rightarrow 0} \frac{\bar{\mathbf{r}}_B(t + \Delta t) - \bar{\mathbf{r}}_B(t)}{\Delta t} = \frac{\bar{\mathbf{r}}_B}{dt} \equiv \bar{\mathbf{v}}_B. \end{aligned}$$

Аналогично определяется производная от конфигурации:

$$\dot{\varkappa} = \lim_{\Delta t \rightarrow 0} \frac{\varkappa_{t+\Delta t} - \varkappa_t}{\Delta t}.$$

Отображение  $\dot{\varkappa}: \mathcal{E}^* \rightarrow \mathcal{V}$  сопоставляет каждой телесной точке  $B^*$  вектор  $\bar{\mathbf{v}}_B$  её скорости в данный момент времени:  $\dot{\varkappa}(B^*) = \bar{\mathbf{v}}_B$ .

В векторном анализе наряду с обычными производными линейных операторов важную роль играют [15] их мультипликативные производные.

Для оператора  $\bar{\mathbf{C}}: X \rightarrow Y$  (который предполагается зависящим от  $t$  как от параметра:  $\bar{\mathbf{C}} = \bar{\mathbf{C}}(t)$ ) мультипликативной производной называется оператор

$$\frac{D\bar{\mathbf{C}}}{dt} = \dot{\bar{\mathbf{C}}} \bar{\mathbf{C}}^{-1}, \quad \det C \neq 0; \quad \frac{D\bar{\mathbf{C}}}{dt}: Y \rightarrow Y.$$

Мультипликативную производную можно рассматривать и для аффинных отображений.

Так, отображение  $\frac{D\boldsymbol{\kappa}}{dt} : \mathcal{E} \rightarrow \mathcal{V}$ , определяемое как  $\dot{\boldsymbol{\kappa}} \circ \boldsymbol{\kappa}^{-1}$ , задаёт фактически векторное *поле скоростей* абсолютно твёрдого тела.

Перепишем основную формулу геометрии движения (4) в виде

$$\boldsymbol{\kappa}(B^*) = \boldsymbol{\kappa}(A^*) + \bar{\Gamma} \bar{\mathbf{r}}^*$$

и продифференцируем её почленно:

$$\dot{\boldsymbol{\kappa}}(B^*) = \dot{\boldsymbol{\kappa}}(A^*) + \dot{\bar{\Gamma}} \bar{\mathbf{r}}^*.$$

Учитывая, что  $\bar{\mathbf{r}}^* = \bar{\Gamma}^T \bar{\mathbf{r}}_{AB}$ , и переходя от обычных производных к мультипликативным, получим

$$\frac{D\boldsymbol{\kappa}}{dt}(B) = \frac{D\boldsymbol{\kappa}}{dt}(A) + \frac{D\bar{\Gamma}}{dt} \bar{\mathbf{r}}_{AB}, \quad \frac{D\bar{\Gamma}}{dt} \equiv \dot{\bar{\Gamma}} \bar{\Gamma}^T. \quad (6)$$

В выражении для мультипликативной производной оператора ориентации вместо обратного оператора записан транспонированный (для ортогональных операторов это – одно и то же).

Мультипликативная производная оператора ориентации  $\bar{\Gamma}$  называется [11] *оператором угловой скорости* абсолютно твёрдого тела. Этот оператор – антисимметричный. Как и всякому антисимметричному линейному оператору в трёхмерном ориентированном евклидовом пространстве, ему ставится в соответствие некоторый вектор, а именно вектор угловой скорости  $\bar{\boldsymbol{\omega}}$ . С учётом этого формула (6) оказывается эквивалентной хорошо известной формуле Эйлера для распределения скоростей точек твёрдого тела:

$$\text{в операторной записи} \quad - \quad \bar{\mathbf{v}}_B = \bar{\mathbf{v}}_A + \overset{\vee}{\bar{\boldsymbol{\omega}}} \bar{\mathbf{r}}_{AB};$$

$$\text{в векторной записи} \quad - \quad \bar{\mathbf{v}}_B = \bar{\mathbf{v}}_A + [\bar{\boldsymbol{\omega}}, \bar{\mathbf{r}}_{AB}].$$

Здесь и далее квадратные скобки обозначают векторное произведение, а символ  $\overset{\vee}$  – операцию, сопоставляющую данному вектору антисимметричный оператор по правилу

$$\forall \bar{\mathbf{u}} \quad \overset{\vee}{\bar{\mathbf{a}}} \bar{\mathbf{u}} = [\bar{\mathbf{a}}, \bar{\mathbf{u}}].$$

Последнее слагаемое в формуле Эйлера можно преобразовать:

$$[\bar{\boldsymbol{\omega}}, \bar{\mathbf{r}}_{AB}] = -[\bar{\mathbf{r}}_{AB}, \bar{\boldsymbol{\omega}}] = [\bar{\mathbf{r}}_{BA}, \bar{\boldsymbol{\omega}}] = \overset{\vee}{\bar{\mathbf{r}}}_{BA} \bar{\boldsymbol{\omega}};$$

тогда эта формула примет вид

$$\bar{\mathbf{v}}_B = \overset{\vee}{\bar{\mathbf{r}}}_{BA} \bar{\boldsymbol{\omega}} + \bar{\mathbf{v}}_A. \quad (7)$$

Итак, поле скоростей абсолютно твёрдого тела однозначно определяется двумя векторами: свободным вектором  $\bar{\boldsymbol{\omega}}$  и вектором скорости в точке  $A$  (последний можно считать приложенным в этой точке). Скорости во всех других его точках можно найти по формуле (7).

Используя этот результат кинематики твёрдого тела, нетрудно перейти к общему понятию винта.

### 1.3. Кинематические винты

Начнём с общего определения понятия винта.

**Винт** (в пространстве  $\mathcal{E}$ ) – объект  $\bar{U}$ , который при выборе какой-либо точки  $A \in \mathcal{E}$  за полюс представляется совокупностью двух векторов  $\bar{u}$  и  $\bar{u}^\circ \equiv \bar{u}_A^\circ$ , принадлежащих  $\mathcal{V}$ , причём при смене полюса (переходе, скажем, от точки  $A$  к точке  $B$ )  $\bar{u}$  не меняется, а  $\bar{u}^\circ$  преобразуется по формуле

$$\bar{u}_B^\circ = \check{\mathbf{r}}_{BA} \bar{u} + \bar{u}_A^\circ. \quad (8)$$

При этом векторы  $\bar{u}$  и  $\bar{u}^\circ$  соответственно называются [6] *главным вектором винта* и *моментом винта*, а вместе – его *элементами приведения*.

Эквивалентное определение: **винт** – совокупность вектора  $\bar{u}$  и векторного поля  $\bar{u}^\circ = \bar{u}^\circ(B)$ , удовлетворяющих соотношению (8).

Таким образом, если полюс выбран, то винт  $\bar{U}$  эквивалентен блочному вектору, составленному из элементов приведения:

$$\bar{U} \sim \bar{U}_A \equiv \begin{pmatrix} \bar{u} \\ \bar{u}^\circ \end{pmatrix}.$$

Нетрудно убедиться, что совокупность всех винтов в  $\mathcal{E}$  образует шестимерное векторное пространство, которое мы обозначим  $\mathcal{P}$ .

Заметим теперь, что формула (8) только обозначениями отличается от (7). Поэтому естественно ввести следующее определение:

**Кинематический винт** абсолютно твёрдого тела – совокупность вектора угловой скорости  $\bar{\omega}$  и поля  $\bar{v}(B)$  скоростей телесных точек. Иначе говоря, это – объект  $\bar{U}$ , который при выборе какой-либо точки  $A \in \mathcal{E}$  за полюс представляется совокупностью векторов  $\bar{\omega}$  и  $\bar{v}_A$ .

Строго говоря, в (7) точка  $A$  – не “какая-либо”, а текущее положение телесной точки  $A^*$  (полюса в  $\mathcal{E}^*$ ; т.е. здесь за полюс в  $\mathcal{E}$  взята движущаяся точка). Но это не принципиально: полюс можно брать любым.

Далее в качестве полюса в  $\mathcal{E}$  будет использоваться неподвижная точка  $O$ . При этом элементами приведения кинематического винта будут  $\bar{\omega}$  и  $\bar{v}_O$  – значение векторного поля  $\bar{v}(B)$  в точке  $O$ . Это значение, разумеется, связано с  $\bar{v}_A$  соотношением

$$\bar{v}_O = \check{\mathbf{r}}_{OA} \bar{\omega} + \bar{v}_A. \quad (9)$$

В теории винтов важную роль играют инварианты винта (т.е. такие величины, выражающиеся через элементы приведения, которые не зависят от выбора полюса). Основных (независимых) инвариантов у винта – два.

Вектор  $\bar{u}$  и скаляр  $(\bar{u}^\circ, \bar{u})$  называются соответственно *первым* и *вторым* инвариантами винта. На основании анализа инвариантов строится полезная классификация винтов.

Винт называется *вырожденным*, если его 1-й инвариант (т.е. главный вектор  $\bar{u}$ ) равен нулю. Частным случаем вырожденного вин-

та является нулевой винт, у которого равны нулю оба элемента приведения.

Для невырожденного винта отношение

$$\rho = \frac{(\bar{\mathbf{u}}^\circ, \bar{\mathbf{u}})}{(\bar{\mathbf{u}}, \bar{\mathbf{u}})}$$

определено и не зависит от выбора полюса. Это – параметр винта (он также является инвариантом, но не независимым, поскольку выражается через первый и второй инварианты).

Винт называется изотропным, если его 2-й инвариант равен нулю. Изотропными являются все вырожденные винты, а также винты нулевого параметра (невырожденные винты, у которых  $\rho = 0$ ).

Среди винтов нулевого параметра выделяют единичные винты, у которых главный вектор  $\bar{\mathbf{u}}$  является единичным вектором.

Прямая  $l$  называется осью винта, если его элементы приведения относительно любого полюса  $B$ , взятого на данной оси, сонаправлены этой оси. Для невырожденного винта ось определена однозначно.

Два винта называются соосными, если их оси совпадают.

В качестве базиса в векторном пространстве  $\mathcal{P}$  можно брать произвольные шесть линейно независимых винтов. Но обычно работают с базами специального вида.

Пусть  $O \in \mathcal{E}$ , а  $\{\bar{\mathbf{e}}_i\}_{i=0}^{i < 3}$  – правый ортонормированный базис в  $\mathcal{U}$ . Набор из шести винтов  $\bar{\mathbf{E}}_0, \bar{\mathbf{E}}_1, \bar{\mathbf{E}}_2, \bar{\mathbf{E}}_0^\circ, \bar{\mathbf{E}}_1^\circ, \bar{\mathbf{E}}_2^\circ$ , которые относительно полюса  $O$  имеют блочное представление

$$\bar{\mathbf{E}}_i \sim \begin{pmatrix} \bar{\mathbf{e}}_i \\ 0 \end{pmatrix}, \quad \bar{\mathbf{E}}_i^\circ \sim \begin{pmatrix} 0 \\ \bar{\mathbf{e}}_i \end{pmatrix},$$

называется плюккеровым базисом в  $\mathcal{P}$ , соответствующим данным точке и базису. Компоненты винта относительно плюккерова базиса называют плюккеровыми координатами этого винта (первые три из них совпадают с компонентами главного вектора, а вторые три – с компонентами момента винта).

Стоит отметить формулу  $\bar{\mathbf{E}}_i^\circ = \bar{\boldsymbol{\varepsilon}} \bar{\mathbf{E}}_i$ , где  $\bar{\boldsymbol{\varepsilon}}: \mathcal{P} \rightarrow \mathcal{P}$  – оператор Клиффорда, т.е. линейный оператор на пространстве винтов, при любом выборе полюса в  $\mathcal{E}$  имеющий блочное представление

$$\bar{\boldsymbol{\varepsilon}} \sim \begin{pmatrix} 0 & 0 \\ \bar{\mathbf{I}} & 0 \end{pmatrix}$$

(так что вторая тройка винтов плюккерова базиса может быть получена из первой тройки умножением входящих в неё винтов на  $\bar{\boldsymbol{\varepsilon}}$ ).

Заметим, что винты  $\bar{\mathbf{E}}_i$  – единичные, а винты  $\bar{\mathbf{E}}_i^\circ$  – соосные им вырожденные винты.

Можно рассматривать винты не только в условно неподвижной системе отсчёта  $\mathcal{E}$ , но и в любой другой (например, в  $\mathcal{E}^*$ ). Наличие между пространствами  $\mathcal{E}^*$  и  $\mathcal{E}$  в текущий момент времени взаимно однозначного соот-

ветствия (реализуемого посредством отображения  $\mathfrak{X}$ ) порождает взаимно однозначное соответствие и между пространствами винтов  $\mathcal{P}^*$  и  $\mathcal{P}$ . Это соответствие оказывается линейным оператором.

Линейный оператор  $\bar{\mathbf{G}}: \mathcal{P}^* \rightarrow \mathcal{P}$ , сопоставляющий для текущей конфигурации телесным винтам винты в условно неподвижной системе отсчёта, называется [6,16] *верзором* абсолютно твёрдого тела. Если в  $\mathcal{E}^*$  и  $\mathcal{E}$  в качестве полюсов взяты точки  $A^*$  и  $O$ , то для верзора справедливо следующее блочное представление:

$$\bar{\mathbf{G}} \sim \begin{pmatrix} \bar{\mathbf{\Gamma}} & 0 \\ \bar{\mathbf{K}} & \bar{\mathbf{\Gamma}} \end{pmatrix}, \quad \text{где } \bar{\mathbf{K}} \equiv \check{\mathbf{r}}_{OA} \bar{\mathbf{\Gamma}}. \quad (10)$$

Отметим, что верзор и конфигурация однозначно определяют друг друга. Всего в матрице верзора – 36 элементов, но среди них есть заведомо нулевые и повторяющиеся, и на программном уровне моделирования можно хранить 12 чисел: 9 элементов матрицы  $\bar{\mathbf{\Gamma}}$  и 3 компоненты столбца  $r_{OA}$ .

Верзор абсолютно твёрдого тела служит [6] примером важного класса линейных операторов на пространстве винтов – винтовых аффиноров.

Линейный оператор  $\bar{\mathbf{A}}: \mathcal{P} \rightarrow \mathcal{P}$  называется *винтовым аффинором*, если он коммутирует с оператором  $\bar{\mathbf{\epsilon}}$ :  $\bar{\mathbf{A}}\bar{\mathbf{\epsilon}} = \bar{\mathbf{\epsilon}}\bar{\mathbf{A}}$ . Для того, чтобы оператор был винтовым аффинором, необходимо и достаточно, чтобы относительно какого-либо полюса  $B$  он имел представление

$$\bar{\mathbf{A}} \sim \begin{pmatrix} \bar{\mathbf{P}} & 0 \\ \bar{\mathbf{Q}} & \bar{\mathbf{P}} \end{pmatrix};$$

при переходе к новому полюсу  $O$  оператор  $\bar{\mathbf{P}}$  не меняется, а  $\bar{\mathbf{Q}}$  преобразуется по формуле  $\bar{\mathbf{Q}}_O = [\check{\mathbf{r}}_{OB}, \bar{\mathbf{P}}] + \bar{\mathbf{Q}}_B$  (квадратные скобки обозначают коммутатор линейных операторов).

Можно показать, что винтовые аффиноры – это в точности те линейные операторы на пространстве винтов, умножение на которые сохраняет соосность винтов.

Винтовой аффинор называется *блочно-антисимметричным*, если его элементы приведения  $\bar{\mathbf{P}}$  и  $\bar{\mathbf{Q}}$  являются антисимметричными операторами. Всякому винту  $\bar{\mathbf{U}}$  можно взаимно однозначно сопоставить блочно-антисимметричный винтовой аффинор  $\check{\bar{\mathbf{U}}}$  по формуле

$$\bar{\mathbf{U}} \sim \begin{pmatrix} \bar{\mathbf{u}} \\ \bar{\mathbf{u}}_B^\circ \end{pmatrix} \Rightarrow \check{\bar{\mathbf{U}}} \sim \begin{pmatrix} \check{\bar{\mathbf{u}}} & 0 \\ \check{\bar{\mathbf{u}}}_B^\circ & \check{\bar{\mathbf{u}}} \end{pmatrix}.$$

Примером блочно-антисимметричного винтового аффинора служит *кинематический аффинор* абсолютно твёрдого тела, определяемый как мультипликативная производная верзора этого тела и связанный с кинематическим винтом  $\bar{\mathbf{U}}$  соотношением:

$$\frac{D\bar{\mathbf{G}}}{dt} = \check{\mathbf{U}};$$

иначе говоря,  $\check{\mathbf{U}} = \dot{\bar{\mathbf{G}}}\bar{\mathbf{G}}^{-1}$ .

#### 1.4. Координаты Денавита – Хартенберга

Рассмотрим механизм, содержащий  $n$  подвижных звеньев, которые образуют простую кинематическую цепь. Общее число  $m$  кинематических соединений будет равно  $n$  для открытой цепи и  $n+1$  для замкнутой.

Будем предполагать, что звенья пронумерованы так: номер 1 имеет звено, соединённое с основанием, номер 2 – звено, соединённое с 1-м звеном, и т.п. Пронумеруем и кинематические соединения, присвоив номер  $j$  соединению звеньев с номерами  $j$  и  $j+1$  (в случае замкнутой цепи номер  $n+1$  получит соединение между  $n$ -м звеном и основанием).

Обозначим через  $\mathcal{E}_j$  систему отсчёта, связанную с  $j$ -м звеном; соответствующие пространства свободных векторов и винтов обозначим через  $\mathcal{V}_j$  и  $\mathcal{P}_j$ .

Пусть  $\kappa_j: \mathcal{E}_j \rightarrow \mathcal{E}$  – конфигурация  $j$ -го звена в условно неподвижной системе отсчёта  $\mathcal{E} = \mathcal{E}_0$  (далее  $\kappa_j$  будет называться *абсолютной* конфигурацией), а  $\kappa_{ij}: \mathcal{E}_j \rightarrow \mathcal{E}_i$  – конфигурация этого же звена относительно системы отсчёта  $\mathcal{E}_i$  (*относительная* конфигурация).

Аналогично, одинарными и двойными индексами, будем отмечать и все остальные кинематические величины, вводимые для звеньев цепи.

Далее полагаем  $i \equiv j-1$ . Рассмотрим вычисление относительных верзоров  $\bar{\mathbf{G}}_{ij}$ . В силу (10) для этого достаточно уметь вычислять оператор ориентации  $\bar{\mathbf{\Gamma}}_{ij}$  и радиус-вектор  $\bar{\mathbf{r}}_{ij} \equiv O_{ij} - O_i^*$  текущего положения  $O_{ij} \equiv \kappa_{ij}(O_j^*)$  полюса  $O_j^* \in \mathcal{E}_j$ .

Такие вычисления проводятся на координатном уровне моделирования, и значительную актуальность приобретает вопрос рационального выбора систем координат в пространствах  $\mathcal{E}_j$ .

Обозначим через  $S_j^* \equiv O_j^* x_j^* y_j^* z_j^*$  систему координат в  $\mathcal{E}_j$ , а через  $S_j \equiv O_j x_j y_j z_j$  – её текущую конфигурацию в  $\mathcal{E}$ . Единичные векторы системы  $S_j$  обозначим через  $\bar{\mathbf{e}}_{ij}$ ,  $i = 0, \dots, 2$ .

Значительную популярность в робототехнике приобрела [1,2] процедура введения систем координат, предложенная Ж.Денавитом и Р.Хартенбергом. Этот подход ориентирован на простые цепи с кинематическими соединениями  $V$ -го класса (вращательными, поступательными, винтовыми).

Итак, рассмотрим алгоритм Денавита – Хартенберга.

Алгоритм Денавита – Хартенберга состоит из двух частей. В ряде случаев он допускает определённую свободу выбора (неоднозначность). Такие места алгоритма отмечены комментарием “(!)”.

Часть 1. Выбор осей.

- D<sub>1</sub>.** Для  $j = 0, \dots, m-1$  направить ось  $z_j$  вдоль оси  $(j+1)$ -го сочленения. Ось  $z_m$  направить произвольно (!).
- D<sub>2</sub>.** Задать точку  $O$  на оси  $z_0$  (!), а ось  $x_0$  направить перпендикулярно оси  $z_0$  (!).
- D<sub>3</sub>.** Для  $j = 1, \dots, m$  взять точку  $O_j$  на оси  $z_j$ :
- $z_{j-1}$  и  $z_j$  скрещиваются  $\Rightarrow$  на пересечении с общей нормалью к  $z_{j-1}$  и  $z_j$ ;
  - пересекаются  $\Rightarrow$  в точке пересечения;
  - параллельны или совпадают  $\Rightarrow$  в любом месте оси  $z_j$  (!).
- D<sub>4</sub>.** Для  $j = 1, \dots, m$  направить ось  $x_j$ :
- $z_{j-1}$  и  $z_j$  скрещиваются или параллельны  $\Rightarrow$  вдоль общей нормали к ним;
  - пересекаются  $\Rightarrow$  перпендикулярно  $z_{j-1}$  и  $z_j$ ;
  - совпадают  $\Rightarrow$  перпендикулярно  $z_j$  (!).
- D<sub>5</sub>.** Для  $j = 0, \dots, m$  направить ось  $y_j$  таким образом, чтобы выполнялось соотношение  $\bar{e}_{1j} = [\bar{e}_{2j}, \bar{e}_{0j}]$ .

Часть 2. Определение параметров ( $j = 1, \dots, m$ ).

- D<sub>6</sub>.**  $\theta_j$  (угол в сочленении) – угол поворота вокруг  $z_{j-1}$  от  $x_{j-1}$  до  $x_j$ .
- D<sub>7</sub>.**  $d_j$  (звенное расстояние):  $d_j = \text{pr}_{z_{j-1}} \overline{O_{j-1}A_j}$ , где  $A_j$  – точка пересечения осей  $z_{j-1}$  и  $x_j$ .
- D<sub>8</sub>.**  $\alpha_j$  (угол скручивания) – угол поворота вокруг  $x_j$  от  $z_{j-1}$  до  $z_j$ .
- D<sub>9</sub>.**  $a_j$  (длина звена):  $a_j = \text{pr}_{x_j} \overline{A_jO_j}$ .

Геометрия механизма набором параметров Денавита – Хартенберга  $\theta_j, d_j, \alpha_j, a_j$  характеризуется однозначно.

Далее ограничимся случаем, когда механизм образует открытую кинематическую цепь. В рассматриваемой ситуации  $n$  обобщённых координат, задающих текущую конфигурацию механизма, можно выбрать так, чтобы координата с номером  $j$  описывала конфигурацию  $j$ -го звена относительно  $(j-1)$ -го (в робототехнике такие координаты  $q_j$  называют координатами в сочленении).

За координату в  $j$ -м сочленении принимается:

- в случае поступательной пары – звенное расстояние  $d_j$ ;



– в случае вращательной или винтовой пары – угол в сочленении  $\theta_j$ .

Остальные параметры Денавита – Хартенберга оказываются постоянными (исключая случай винтовой пары, когда звенное расстояние изменяется, но его изменение связано с изменением угла в сочленении соотношением

$$d_j = p_j \theta_j, \quad p_j = \pm \frac{h_j}{2\pi};$$

здесь  $p_j$  – параметр винтовой пары,  $h_j$  – шаг винта).

Вернемся к задаче вычисления относительных верзоров  $\bar{\mathbf{G}}_{ij}$ .

Заметим, что переход от  $S_{j-1}$  к  $S_j$  сводится к двум последовательным винтовым перемещениям:

- повороту на  $\theta_j$  вокруг оси  $z_{j-1}$  и сдвигу на  $d_j$  вдоль неё же;
- повороту на  $\alpha_j$  вокруг оси  $x_j$  и сдвигу на  $a_j$  вдоль неё же.

Поэтому

$$\Gamma_{ij} = \Gamma_{\theta_j} \Gamma_{\alpha_j} = \begin{pmatrix} \cos \theta_j & -\sin \theta_j \cos \alpha_j & \sin \theta_j \sin \alpha_j \\ \sin \theta_j & \cos \theta_j \cos \alpha_j & -\cos \theta_j \sin \alpha_j \\ 0 & \sin \alpha_j & \cos \alpha_j \end{pmatrix}; \quad (11)$$

$$r_{ij} = \begin{pmatrix} 0 \\ 0 \\ d_j \end{pmatrix} + \Gamma_{\alpha_j} \begin{pmatrix} a_j \\ 0 \\ 0 \end{pmatrix} = \begin{pmatrix} a_j \cos \theta_j \\ a_j \sin \theta_j \\ d_j \end{pmatrix}. \quad (12)$$

Итак, верзоры  $\bar{\mathbf{G}}_{ij}$  вычислены.

### 1.5. Рекуррентные формулы кинематики для манипуляционного робота

Решим *прямую задачу геометрии движения*: найдём конфигурации звеньев механизма по известным координатам в сочленениях.

Абсолютная конфигурация  $\boldsymbol{\kappa}_j$  может быть найдена, если известны конфигурация предыдущего звена  $\boldsymbol{\kappa}_i$  и относительная конфигурация  $\boldsymbol{\kappa}_{ij}$ . Получаем рекуррентные формулы:

$$\boldsymbol{\kappa}_1 = \boldsymbol{\kappa}_{01}, \quad \boldsymbol{\kappa}_j = \boldsymbol{\kappa}_i \circ \boldsymbol{\kappa}_{ij}; \quad j = 2, \dots, n, \quad i \equiv j. \quad (13)$$

При верзорном описании движения формулам (13) соответствуют рекуррентные формулы для верзоров:

$$\bar{\mathbf{G}}_1 = \bar{\mathbf{G}}_{01}, \quad \bar{\mathbf{G}}_j = \bar{\mathbf{G}}_i \bar{\mathbf{G}}_{ij}; \quad j = 2, \dots, n, \quad i \equiv j. \quad (14)$$

Поскольку в § 1.4 задача вычисления относительных верзоров по известным значениям параметров Денавита – Хартенберга была решена, то по

формулам (14) все абсолютные верзоры  $\bar{\mathbf{G}}_j$  могут быть найдены.

Перейдём теперь от геометрии движения к теории скоростей.

Возьмём мультипликативные производные от обеих частей формулы  $\bar{\mathbf{G}}_j = \bar{\mathbf{G}}_i \bar{\mathbf{G}}_{ij}$ :

$$\overset{\vee}{\mathbf{U}}_j \equiv \frac{D\bar{\mathbf{G}}_j}{dt} = \frac{D(\bar{\mathbf{G}}_i \bar{\mathbf{G}}_{ij})}{dt} = \frac{D\bar{\mathbf{G}}_i}{dt} + \bar{\mathbf{G}}_i \frac{D\bar{\mathbf{G}}_{ij}}{dt} \bar{\mathbf{G}}_i^{-1} = \overset{\vee}{\mathbf{U}}_i + \bar{\mathbf{G}}_i \overset{\vee}{\mathbf{U}}_{ij} \bar{\mathbf{G}}_i^{-1}.$$

Переходя от кинематических аффиноров к кинематическим винтам, получаем

$$\bar{\mathbf{U}}_j = \bar{\mathbf{U}}_i + \bar{\mathbf{G}}_i \bar{\mathbf{U}}_{ij}. \quad (15)$$

Последнее слагаемое в (15) – *кинематический винт  $j$ -го сочленения*:  $\bar{\mathbf{V}}_j \equiv \bar{\mathbf{G}}_i \bar{\mathbf{U}}_{ij} \in \mathcal{P}$  (отметим, что  $\bar{\mathbf{U}}_{ij} \in \mathcal{P}_i$ ).

Рекуррентные формулы для кинематических винтов можно записать в виде

$$\bar{\mathbf{U}}_0 = 0, \quad \bar{\mathbf{U}}_j = \bar{\mathbf{U}}_i + \bar{\mathbf{V}}_j; \quad j = 1, \dots, n, \quad i \equiv j-1. \quad (16)$$

Структуру манипулятора зададим [16] набором констант  $\lambda_j, \mu_j$ :

- для вращательного сочленения  $\lambda_j = 1, \mu_j = 0$ ;
- для поступательного сочленения  $\lambda_j = 0, \mu_j = 1$ ;
- для винтового сочленения  $\lambda_j = 1, \mu_j = p_j$ .

Тогда, учитывая выбор осей координат в процедуре Денавита – Хартенберга, можно выразить относительные кинематические винты  $\bar{\mathbf{U}}_{ij}$  через обобщённые скорости  $\dot{q}_j$  (*скорости в сочленениях*):

$$\bar{\mathbf{U}}_{ij} = \dot{q}_j (\lambda_j \bar{\mathbf{E}}_{2i} + \mu_j \bar{\mathbf{E}}_{2i}^\circ),$$

где  $\bar{\mathbf{E}}_{0i}, \bar{\mathbf{E}}_{1i}, \bar{\mathbf{E}}_{2i}, \bar{\mathbf{E}}_{0i}^\circ, \bar{\mathbf{E}}_{1i}^\circ, \bar{\mathbf{E}}_{2i}^\circ$  – базисные винты в  $\mathcal{P}_i$ .

Переходя к кинематическим винтам сочленений, получаем

$$\bar{\mathbf{V}}_j = \dot{q}_j \bar{\mathbf{D}}_j, \quad (17)$$

где  $\bar{\mathbf{D}}_j = \bar{\mathbf{G}}_i (\lambda_j \bar{\mathbf{E}}_{2i} + \mu_j \bar{\mathbf{E}}_{2i}^\circ)$  – *направляющий винт  $j$ -го сочленения*.

Заметим, что вычисление направляющих винтов сочленений не вызывает каких-либо трудностей. Эти винты являются линейными комбинациями произведений верзора  $i$ -го тела на 2-й и 5-й (при сквозной нумерации от нуля) базисные винты; но столбец компонент произведения линейного оператора на базисный вектор есть соответствующий столбец матрицы этого оператора. Поэтому:

Столбец плюккерových координат направляющего винта  $j$ -го сочленения есть линейная комбинация 2-го и 5-го столбцов матрицы верзора  $\bar{\mathbf{G}}_i$  с коэффициентами  $\lambda_j$  и  $\mu_j$ .

С учётом (17) рекуррентные формулы для кинематических винтов принимают вид

$$\bar{\mathbf{U}}_0 = 0, \quad \bar{\mathbf{U}}_j = \bar{\mathbf{U}}_i + \dot{q}_j \bar{\mathbf{D}}_j; \quad j = 1, \dots, n, \quad i \equiv j-1. \quad (18)$$

Пусть теперь механизм представляет собой шестизвенный манипулятор:  $n = 6$  (6-е звено – хват).

Из всех задач кинематики манипулятора рассмотрим так называемые задачи о скоростях. Они могут быть сформулированы [6, 16] так:

**Прямая задача о скоростях:** найти кинематические винты звеньев (в частности, кинематический винт хвата) по заданным скоростям в сочленениях.

**Обратная задача о скоростях:** найти скорости в сочленениях по кинематическому винту хвата.

Для решения прямой задачи о скоростях можно воспользоваться непосредственно формулами (18). Но рациональнее их преобразовать.

От рекуррентных формул (18) перейдём к явным:

$$\bar{U}_j = \sum_{k=1}^j \dot{q}_k \bar{D}_k \quad - \text{ для } j\text{-го звена}; \quad \bar{U}_6 = \sum_{j=1}^6 \dot{q}_j \bar{D}_j \quad - \text{ для хвата.}$$

Эти формулы и дают решение прямой задачи о скоростях.

Теперь перейдём к обратной задаче о скоростях.

Перепишем полученную для винта  $\bar{U}_6$  формулу в виде

$$U_6 = A_K \dot{q}, \quad (19)$$

где  $U_6$  – столбец плюккеровых координат кинематического винта хвата;  $\dot{q}$  – столбец из  $q_j$ ;  $A_K$  – матрица, столбцами которой служат столбцы плюккеровых координат винтов  $\bar{D}_j$ .

Итак, получена система линейных алгебраических уравнений относительно  $\dot{q}_j$ .

Поэтому решение обратной задачи о скоростях даётся формулой

$$\dot{q} = U_6 \setminus A_K \quad (20)$$

(обратная дробная черта обозначает [17] операцию *левого деления* столбца на матрицу, т.е. операцию вычисления решения системы линейных алгебраических уравнений).

Из формулы (20) видно, что для существования и единственности решения обратной задачи о скоростях для шестизвенного манипулятора необходима и достаточна невырожденность матрицы  $A_K$ .

Иными словами, столбцы плюккеровых координат направляющих винтов  $\bar{D}_j$  (и сами винты) должны быть линейно независимыми.

Отметим, что конфигурация механизма называется *особенной* [6], если направляющие винты сочленений линейно зависимы. Поэтому для существования и единственности решения обратной задачи о скоростях для шестизвенного манипулятора необходимо и достаточно, чтобы его конфигурация была неособенной.

## Глава 2. Моделирование кинематики манипуляционных роботов средствами комплекса УМ

Рассмотрим вопросы использования программного комплекса “Универсальный механизм” (УМ) при решении задач кинематического анализа манипуляционных роботов. Изложение будем вести на примере прямой задачи кинематики для исполнительного механизма шестизвенного манипуляционного робота с вращательными и поступательными кинематическими сочленениями.

Отметим, что комплекс УМ предназначен [18,19] для компьютерного моделирования многосвязных систем абсолютно твёрдых тел с разнообразными кинематическими соединениями и ориентирован на широкий класс задач статики, кинематики и динамики. Разработан он Д.Ю.Погореловым.

В последние два десятилетия был создан ряд достаточно универсальных программ для моделирования систем твёрдых тел. Но эти программы, как правило, ориентированы на достаточно мощные компьютеры. В отличие от них, комплекс УМ реализован на персональных компьютерах семейства PC IBM с процессорами класса Intel 80387 и выше, т.е. на наиболее дешёвых и распространённых ЭВМ. Вместе с тем он позволяет за приемлемое время моделировать системы, включающие свыше тысячи тел.

Таких показателей комплекс УМ достигает, используя:

- анализ структуры графа системы с выбором оптимального перехода к структуре дерева;
- специальное кодирование входящих в уравнения модели символьных выражений, которое снимает проблемы приведения подобных членов и упрощения тригонометрических выражений;
- синтез уравнений модели в виде дифференциально-алгебраических уравнений (без сведения последних к дифференциальной форме);
- метод подсистем, при котором уравнения всей системы формируются на основе уравнений её простых подсистем (что особенно эффективно при наличии в модели кинематически тождественных подсистем).

Эффективному использованию комплекса УМ в учебном процессе способствуют следующие его особенности: автоматизация наиболее трудоёмких операций по составлению математической модели системы; гибкий режим ввода исходных данных (с их контролем и визуализацией); возможность непосредственного просмотра промежуточных результатов работы комплекса; вывод результатов в числовой и графической форме; использование методов компьютерной графики, обеспечивающих визуализацию движения моделируемой системы.

### 2.1. Постановка прямой задачи кинематики

Рассмотрим следующий вариант постановки прямой задачи кинематического анализа для шестизвенного манипулятора [18].

*Задача.* Структура и геометрические характеристики манипулятора даны. Для координат  $q_j$  в его сочленениях заданы также их законы изменения. Требуется на заданном интервале времени  $[0, t_{\text{fin}}]$

найти движение звеньев манипулятора и, в частности, определить, как зависят от времени угловая скорость  $\bar{\omega}$  схвата и вектор  $\bar{v}_C$  скорости центра схвата  $C^*$ .

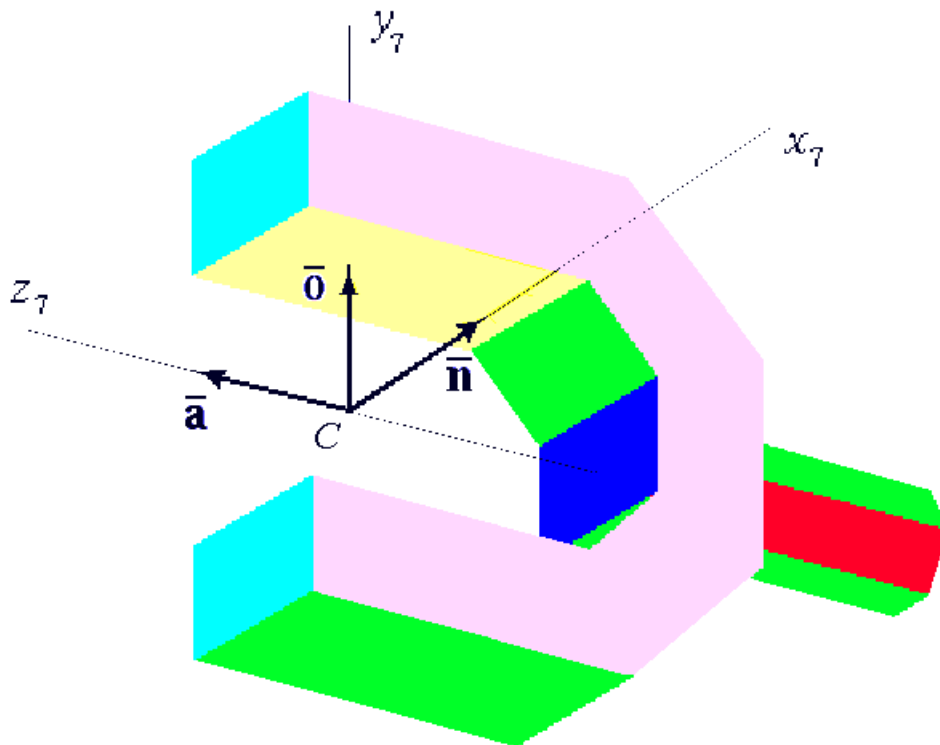
Под “центром схвата” понимается далее фиксированная точка связанной со схватом системы отсчёта (как правило, это – геометрический центр сжатых губок схвата [2]).

Далее предполагается, что координаты в сочленениях изменяются по гармоническому закону:  $q_j = a_j \sin v_j t + b_j$ .

Разные варианты заданий лабораторного практикума отличаются количеством и взаимным расположением вращательных и поступательных сочленений, а также геометрическими характеристиками звеньев робота.

Свяжем с каждым из звеньев систему координат Денавита – Хартенберга, как это делалось в предыдущей главе. При этом рекомендуется сделать эскиз, на котором будет изображена кинематическая схема манипулятора (в какой-либо конфигурации) вместе с осями систем координат. После этого можно определить значения параметров Денавита – Хартенберга и поместить их в таблицу, которая понадобится для формализованного описания геометрии сочленений робота.

Введём три единичных вектора в связанной со схватом СО:  $\bar{n}^*$  – вектор, перпендикулярный плоскости движения губок схвата;  $\bar{o}^*$  – вектор, определяющий направление движения губок при их раскрытии;  $\bar{a}^*$  – вектор, задающий ось симметрии схвата. Отвечающие этим телесным векторам в условно неподвижной СО векторы  $\bar{n}$ ,  $\bar{o}$ ,  $\bar{a}$  называются соответственно *вектором нормали*, *вектором ориентации* и *вектором подхода*).



В робототехнике принято [2], чтобы началом связанной со схватом системы координат служил его центр, а единичные векторы координатных осей соответствовали векторам  $\bar{\mathbf{n}}$ ,  $\bar{\mathbf{o}}$ ,  $\bar{\mathbf{a}}$  (см. рисунок).

С помощью алгоритма Денавита – Хартенберга, однако, можно добиться лишь совмещения оси  $z_6$  с осью симметрии схвата. Точки  $O_6$  и  $C$ , вообще говоря, совпадать не будут.

Чтобы преодолеть возникшее затруднение, оставаясь в рамках формализма Денавита – Хартенберга, введём, наряду с системой отсчёта  $\mathcal{E}_6$ , ещё один экземпляр связанной со схватом системы отсчёта:  $\mathcal{E}_7$ . В этой СО будем пользоваться системой координат  $S_7^*$  с осями, удовлетворяющими сформулированному выше требованию; как обычно, через  $S_7$  будет обозначаться текущая конфигурация  $S_7^*$  в  $\mathcal{E}_6$ .

При этом переход от  $S_6$  к  $S_7$  сведётся к винтовому перемещению вдоль оси  $z_6$  (с постоянными параметрами  $\theta_7$  и  $d_7$ ). Параметры же  $\alpha_7$  и  $a_7$  будут равны нулю.

Для того, чтобы решить рассматриваемую задачу с использованием (в качестве инструментальной системы) программного комплекса **UM**, достаточно сообщить комплексу, что число подвижных звеньев механизма равно шести, и описать средствами этого комплекса характер и параметры кинематических соединений (а также задать зависимость обобщённых координат  $q_j$  от времени).

Конечно, чтобы увидеть движение механизма на экране, надо ещё описать звенья как геометрические тела (это обсуждается в следующем параграфе).

Формальное описание вращательных и поступательных сочленений средствами комплекса **UM** основано на понятии “*нормального шарнира*”. В терминологии, принятой в комплексе **UM**, под нормальным шарниром понимается [19] кинематическое соединение, математическая модель которого сводится к указанию последовательности *элементарных преобразований* (ЭП), определяющих переход от системы координат  $S_{j-1}$  к системе  $S_j$ .

Каждое из элементарных преобразований есть либо сдвиг, либо поворот относительно одной из координатных осей и характеризуется вектором  $\bar{\mathbf{e}} = \text{const}$  и параметром  $s$ . Различаются такие типы ЭП: **tc**, **tt**, **tv**, **rc**, **rt**, **rv**; здесь первая буква обозначает сдвиг (**t**) или поворот (**r**), а вторая показывает, что параметр  $s$  является константой (**c**), известной функцией времени (**t**), или переменной величиной (**v**), т.е. одной из локальных координат в шарнире.

При использовании формализма Денавита – Хартенберга каждое из рассматриваемых кинематических соединений моделируется как нормальный шарнир, определяемый цепочкой из четырёх ЭП, параметры которых совпадают с параметрами Денавита – Хартенберга. Задать значения этих параметров можно либо в диалоговом режиме, либо в текстовом файле **input.dat**.

Например, если 1-е сочленение манипулятора является поступательным, то при просмотре описания нормального шарнира в файле `input.dat` увидим:

```
with joint1; type=comm; bd1=0; bd2=1;
with et; type=rc; ez=1; s0=< $\theta_1$ >;
with et; type=tt; ez=1;
    s(t)=q1(t);
with et; type=rc; ex=1; s0=< $\alpha_1$ >;
with et; type=tc; ex=< $a_1$ >;
```

(вместо взятых в угловые скобки обозначений параметров  $\theta_1$ ,  $\alpha_1$ ,  $a_1$  нужно поставить их численные значения либо имена соответствующих символических параметров). Смысл записи вполне очевиден.

Наличие ЭП типа `tt` или `rt` подразумевает, что пользователь должен подготовить файл `functn.pas`, содержащий написанные на языке Турбо Паскаль тексты подпрограмм (эти подпрограммы в данном примере носят имена `q1`, ..., `q6`), которые отвечают за вычисление функций времени  $q_j(t)$ ,  $\dot{q}_j(t)$  и  $\ddot{q}_j(t)$ .

Приведем текст подпрограммы `q1` (остальные устроены аналогично):

```
function q1(t : real_; drv1 : integer) : real_;
begin
case drv1 of
  0: begin
    q1:=a1*sin(n1*t)+b1;
    end;
  1: begin
    q1:=a1*n1*cos(n1*t);
    end;
  2: begin
    q1:=-a1*n1*n1*sin(n1*t);
    end;
end;
end;
```

После того, как характер и параметры кинематических соединений будут описаны, а зависимость обобщённых координат от времени задана, Вы можете запустить задачу на решение. Комплекс **UM** осуществит автоматический вывод уравнений движения робота и обеспечит компьютерную визуализацию его движения.

Решая прямую задачу кинематики при различных значениях параметров, характеризующих изменение координат в сочленениях, Вы получите достаточно полное впечатление о кинематических возможностях своих манипуляторов. После этого можно перейти к решению более сложных задач.

## 2.2. Программный комплекс UM (“Универсальный механизм”)

Рассмотрим типичные действия при работе с программным комплексом **UM**.

Для решения прямой задачи кинематики следует, войдя в среду комплекса **UM** и задав имя своей задачи, при помощи графического препроцессора комплекса последовательно: 1) ввести числа тел и шарниров (оба числа в данной задаче равны шести); 2) связать с каждым звеном графический объект, который строится из стандартных графических элементов (параллелепипеды, призмы, цилиндры, конусы и т.п.) с указанием размеров и цветов каждого; 3) ввести описания шарниров вместе с номерами соединяемых ими тел; 4) задать первоначальные значения символических параметров. Результатами работы графического препроцессора является ряд файлов, в т.ч. текстовые файлы **inpgraph.dat** (информация о графических объектах), **input.dat** (основные параметры модели) и **constfil.pas** (таблица символических параметров с их начальными значениями).

Содержимое данных файлов часто бывает удобно корректировать непосредственно (с помощью любого текстового редактора).

Завершив графический ввод, надлежит вызвать в среде комплекса **UM** его компоненты, отвечающие за синтез уравнений движения и их оптимизацию. Результатом их работы будет набор программных файлов на языке Турбо Паскаль. После обработки этих файлов компилятором Вы вправе перейти к численному интегрированию уравнений модели. На этом этапе можно: выбирать метод интегрирования и его параметры; изменять значения символических параметров; открывать анимационные окна, служащие для визуализации процесса движения; открывать графические окна, в которых комплекс будет строить графики различных величин; записывать результаты интегрирования в выходные файлы для их последующего анализа.

Рассмотрим теперь последовательно один сеанс работы с комплексом “Универсальный механизм”.

Для запуска комплекса надо войти в директорию **UM** и набрать его имя – **um** – в командной строке.

Если комплекс не запускается, следует проверить, чтобы в конфигурационном файле **autoexec.bat** были правильно указаны пути для комплекса **UM** и компилятора с Паскаля, например: **C:\UM;C:\BP\BIN;.**

Предположим, что комплекс **UM** запустился успешно. Тогда на экране монитора на общем синем фоне появятся две строки белого цвета: одна вверху и одна внизу. В верхней строке будет написано:

**Control Preprocessor Equation Postprocessor Edit**

В нижней строке красным цветом будут выделены обозначения функциональных клавиш (здесь они даны подчёркиванием), а рядом будет указано название того или иного управляющего действия:

**F3 Input F4 Name of Task F10 Menu Alt-X Quit JULA**



Последнее имя (**JULA**) в этом списке – имя задачи, которая в данный момент является активной.

Если Вы работаете с комплексом впервые, то имя задачи надлежит дать сразу (изменить его в дальнейшем достаточно сложно). Выясним, как это можно сделать.

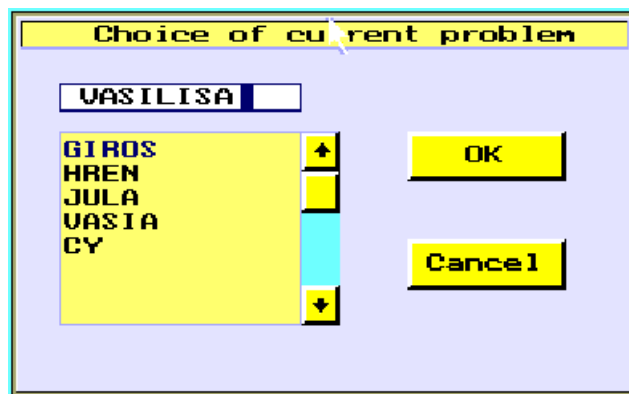
Во-первых, надо воспользо-



ваться функциональной клавишей **F10**. В результате окно пункта меню **Control** будет подсвечено синим цветом и станет активным. Станут активными и клавиши управления курсором ←, ↑, ↓, →. Последующее нажатие клавиши ↓ приведёт к появлению подменю, в котором активным окажется пункт **Name of Task**.

Заметим, что все перечисленные операции можно было бы реализовать и с помощью мыши.

Нажмите клавишу **Enter**. В командной строке, которая будет при этом высвечена в виде небольшой белой полоски, можно набрать имя задачи (ниже – в окне прокрутки – будут видны имена других задач, с которыми комплекс работал ранее). Если, как показано на рисунке, набрать в качестве имени своей задачи **VASILISA**, то тут же последует первое замечание: это имя содержит более семи символов (что при работе с комплексом **UM** недопустимо).



Итак, имя задачи не должно содержать более семи символов. Кроме того, оно не должно совпадать со стандартными обозначениями функций или операций; например, имя **AND** (как сокращение от имени **ANDREY**) недопустимо, так как оно совпадает с обозначением операции конъюнкции в языке Турбо Паскаль.

В ответ на полученное замечание нажмите клавишу **Esc** и наберите новое имя, содержащее уже меньшее число символов. Допустим, Вы набрали **VASIA**. Комплекс **UM** тут же отреагирует предупреждением: **New Task!** Поскольку задача – действительно новая, то нажмите в ответ на это клавишу **Enter**. В правом нижнем углу экрана тогда появится выбранное имя задачи (в нашем примере – **VASIA**).

Если возникла необходимость, можно тут же прервать работу с программным комплексом (для чего достаточно ввести команду **Alt-X**). При этом Вы можете быть уверены, что введённое Вами имя задачи комплекс **UM** запомнил (при повторном запуске комплекса оно, являясь теперь именем активного задания, будет находиться на своём месте – в правом нижнем углу экрана).

Но, скорее всего, Ваша цель – решение конкретной задачи. Поэтому разумнее всего сразу же, засучив рукава, приступить к творению

нию своего неповторимого детища. Для этого Вам следует выйти на очередной пункт основного меню комплекса: **Preprocessor**.

В подменю этого пункта – два подпункта, но в рассматриваемой здесь версии **UM** задействован только один: **Object input**.

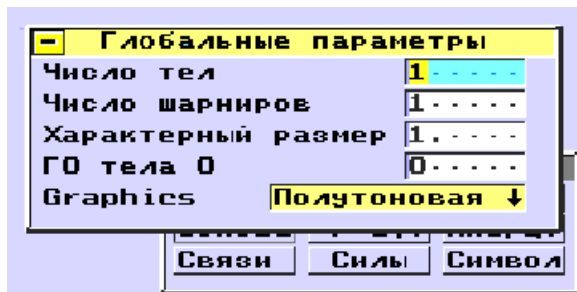
Нажав клавишу **Enter**, начните работу с программой графического ввода. Слева на экране будет видно большое синее окно (рабочий стол для творения), в центре которого изображена прямоугольная система координат *xuz*. Справа в нижнем углу – основное меню программы ввода с названием **Основная таблица**. При выходе на это меню подсвеченным (активным) является пункт **Ввод**.



Нажимать **Enter** не торопитесь (при обращении к пункту **Ввод** программа читает информацию из файлов **input.dat** и **inpgraph.dat**, но Вы ведь ещё ничего не успели сотворить), иначе получите новое замечание. Оно появится в красной полосе внизу экрана и будет содержать код ошибки с поясняющей надписью: **не найден файл inpgraph.dat**.

Выйти из создавшегося положения удастся не сразу. Придётся нажать клавишу **Esc** и затем правильно отвечать на вопросы комплекса **UM**. Поэтому начинать работу с пункта **Ввод** будете при втором и последующих обращениях к программе графического ввода, а в первый раз следует обратиться к другому пункту меню.

Выберем в меню программы ввода пункт **Основа**. Нажмем клавишу **Enter**. На экране появится подменю **Глобальные параметры** с пятью полями. Для шестизвенного манипулятора следует в качестве значений параметров **Число тел** и **Число шарниров** (в обозначениях главы 1 это –  $n$  и  $m$ ) ввести число 6. Число 1 в поле **Характерный размер** без особой нужды менять не следует (если же его заменить на меньшее число, то изображение Вашего объекта станет увеличенным, а замена единицы на большее число приведёт к уменьшению изображения).



А вот стоящее в поле **ГО тела 0** число 0 следует обязательно исправить на 1! “ГО” означает: “графический объект”, т.е. геометрическое тело, сопоставляемое данному звену. Нумерация графических объектов в комплексе **UM** ведётся от единицы, так что если Вы хотите увидеть “тело 0” (т.е. основание) на этапе визуализации движения, следует создать графический объект и для него.

В принципе нумерацию звеньев механизма и графических объектов можно вести независимо (в том случае, когда два тела имеют одинаковую форму, размер и расцветку, им вполне разумно сопоставить один и тот же графический объект). Но в обычных ситуациях рекомендуется пользоваться простым правилом: “номер ГО – это номер звена плюс 1”.

В поле **Graphics** указан тип графики: **Полутоновая**. Если

выйти на подменю, соответствующее этому пункту, то Вам будут предоставлены следующие возможности: **Каркасная, Полутоновая, Многоцветная, Контурная**. Мы рекомендуем при первом обращении к программе графического ввода выбрать **Многоцветная** (после того, как изображения всех графических объектов будут созданы, тип графики можно будет изменить).

Отметим, что при работе с меню программы графического ввода в большинстве случаев можно воспользоваться контекстной помощью, для чего достаточно нажать клавишу **F1**.

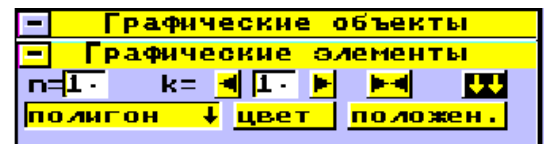
Закончив работу с пунктом **Основа**, вернёмся (нажатием клавиши **Esc**) к меню **Основная таблица**, в котором выберем пункт **Граф**. Нажмём **Enter**; появится меню **Графические объекты**.

В этом меню Вы увидите поле **n =** (в окне при этом поле указывается общее число графических объектов, а сперва стоит 1), поле **i =** (номер текущего ГО, с которым Вы работаете), а также кнопку с двумя треугольниками и кнопку с двумя стрелками.

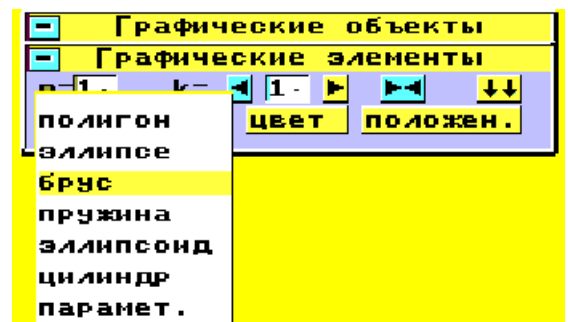
В окне при поле **i =** при первом входе тоже стоит число 1. Для увеличения или уменьшения номера текущего ГО служат две маленькие кнопки по обе стороны от окошка с этим номером (аналог скроллинга). Если Вы ошибочно указали номер несуществующего ГО, нажмите кнопку с двумя треугольниками (“забой”).

Кнопка с двумя стрелками означает переход на расширение текущего меню. Нажмём её; появится подменю **Графические элементы**.

Теперь предлагается приступить к вводу данных об элементах, образующих данный графический объект (их общее число показано в поле **n =**). В окне при поле **k =** указан номер текущего графического элемента. Кнопки с двумя треугольниками и с двумя стрелками имеют то же назначение, что и в предыдущем меню. Ниже располагаются три дополнительных окна.



При выходе на первое из них появляется окно прокрутки, в котором указаны типы стандартных графических элементов (заметим, что **полигон** – это плоский многоугольник, а **парамет.** – это поверхность, задаваемая параметрическим способом). Один из пунктов этого перечня надлежит выбрать.



Предположим, что свой выбор Вы остановили на пункте **цилиндр**. Отметим сразу же, что это название достаточно условно, и в действительности Вы сможете создать не только цилиндр, но также конус (обычный или усечённый); а если учесть, что объекты с криволинейными поверхностями аппроксимируются многогранниками, то речь идёт соответственно о призме или о пирамиде (обычной или усечённой).

Перейдём теперь на кнопку расширения меню. Вы увидите перечень числовых параметров, которые определяют форму и размеры Вашего “цилиндра”. Так,  $r1$  и  $r2$  представляют собой соответственно радиусы нижнего и верхнего оснований; если они одинаковы, как это показано на рисунке, то получается цилиндр, если не равны – конус (усечённый, если оба радиуса отличны от нуля, и обычный, если одно из этих чисел равно нулю). Высота тела будет равна  $h$ .



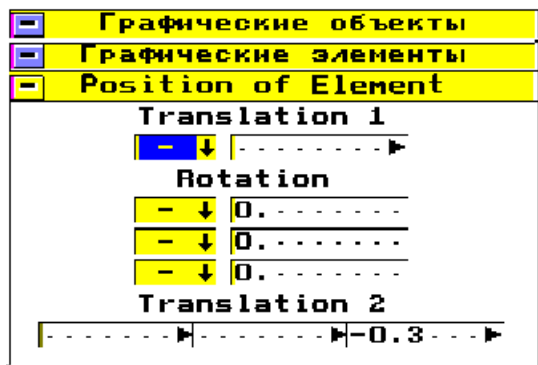
Заметим, что в основаниях могут лежать не окружности, а дуги окружностей (так что можно получить, на-

пример, полцилиндра). В такой ситуации в поле **Arc** указываются (в градусах) начальное и конечное значения угла, задающего дугу.

При изменении угла от  $0^\circ$  до  $0^\circ$  окружность считается полной (т.е. угол фактически изменяется от  $0^\circ$  до  $360^\circ$ ).

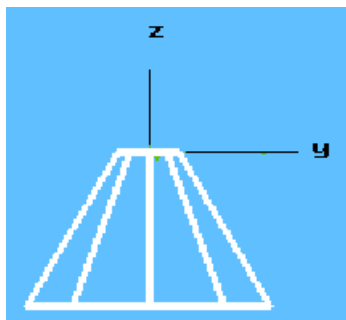
Наконец, параметры  $nc$  и  $n1$  задают соответственно число линий на боковой поверхности (т.е. число боковых граней аппроксимирующей призмы или пирамиды) и число линий, параллельных основаниям (так, при  $n1$ , равном 2, рисуются только сами основания, а при  $n1$ , равном 3, – ещё и промежуточная окружность).

После выхода из расширения меню на экране появится каркасное изображение “цилиндра”. Если его положение в системе координат, связанной с данным графическим объектом, Вас не устраивает, то обратитесь к пункту **положен.** в меню **Графические элементы.**



При обращении к этому пункту на экране возникнет очередное подменю, с помощью которого можно задать набор последовательных преобразований, которым будет подвергнуто тело (среди них – сдвиг на заданное значение вдоль какой-либо координатной оси, три поворота вокруг координатных осей и ещё один сдвиг на постоянный вектор.

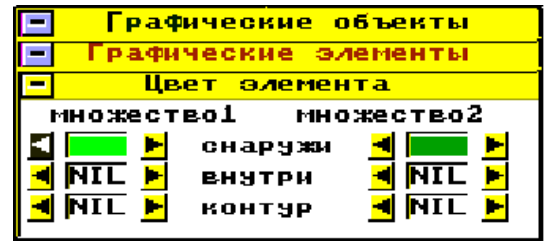
Например, если  $r1$  задаётся большим, чем  $r2$ , а  $nc$  принимается равным 8, то получается восьмигранная усечённая пирамида, нижнее основание которой будет располагаться в плоскости  $xy$ . Если её положение Вас не устраивает (Вы хотели бы совместить с этой плоскостью верхнее основание), то достаточно просто сдвинуть пирамиду вдоль её оси симметрии (ось  $z$ ) на высоту  $h$ . Для этого можно в последнем окне пункта **Translation 2** набрать то же самое число, которое Вы задавали в качестве  $h$  при вводе числовых параметров графического элемента



Translation 2 набрать то же самое число, которое Вы задавали в качестве  $h$  при вводе числовых параметров графического элемента

(причём со знаком минус: пирамиду надо опустить, а не приподнять).

Следующее, что необходимо сделать – это задать цвета для Вашей пирамиды. Для этого обратимся к пункту **цвет** в меню **Графические элементы**. Комплекс **UM** предлагает Вам задать два набора цветов, которые при визуализации граней элемента будут чередоваться. Для элемента типа **цилиндр** достаточно задать лишь цвета в строке **снаружи**. Поэтому в каждом из двух окон в данной строке необходимо, используя для прокрутки кнопки с треугольниками, установить требуемый цвет.



Рекомендуется выбирать близкие оттенки цвета (более светлый для первого набора и более тёмный – для второго). Такой подбор цветов позволит получить в дальнейшем более реалистичное изображение.

После выбора цветов работа с данным графическим элементом заканчивается, и следует перейти к следующему элементу данного графического объекта (если он есть). Завершив ввод данных для всех элементов данного ГО, возвращайтесь к меню **Графические объекты**; теперь можно приступить к следующему объект...

Вернувшись в конце концов к основному меню программы графического ввода, перейдём к пункту **Инерц**. Поскольку решаемая задача чисто кинематическая, а комплекс рассчитан на решение динамических задач, то нам достаточно было бы войти в меню этого пункта и сразу же выйти, нажав **Esc** (тогда все инерционные параметры окажутся – по умолчанию – нулевыми). Однако в действительности одну вещь в этом пункте сделать всё-таки нужно, а именно: для каждого подвижного звена механизма указать номер соответствующего ему ГО.



Так, в соответствии с уже упоминавшимся правилом, для звена с номером  $1$  (см. рисунок) следует задать номер ГО, равный  $2$ .

Перейдём теперь к пункту **Связи** основного меню. После нажатия клавиши **Enter** на экране появится меню **Ввод шарниров**. Назначение кнопок в его верхней строке Вам уже знакомо, но теперь в поле **j=** находится номер текущего шарнира (т.е. кинематического соединения).



В первую очередь рекомендуется указать, какие тела соединяет данный шарнир (в соответствии с принятой в главе 1 нумерацией звеньев и кинематических соединений первый шарнир осуществляет связь между  $0$ -м и  $1$ -м телами, так что в левом нижнем окошке первоначально стоявшую там цифру  $0$  заменять не следует, а в следующем окне надо заменить  $0$  на  $1$ , что и показано на рисунке).



Информация в полях средней строки (тип шарнира **Нормальный**, признак шарнира **Внутренний**) нас вполне устраивает (кстати, все шарниры, рассматриваемые в данном пособии, являются в терминологии комплекса **УМ** “внутренними”), так что менять здесь ничего не надо. Перейдём на расширение данного меню.

На экране появляется подменю **Нормальный шарнир**. Поле **n=** указывает номер текущего шарнира, а поле **i=** – номер текущего ЭП (напоминаем, что все шарниры в наших задачах определяются цепочками из четырёх ЭП).

Предположим, что первый шарнир, описание которого мы сейчас задаем, моделирует поступательную кинематическую пару. Тогда при **i=1** мы выберем ЭП типа **rc** (тип задаётся в окне прокрутки справа), а в качестве вектора  $\bar{\mathbf{e}}$  для него зададим единичный вектор оси  $z$  (это означает, что два первых поля с компонентами вектора  $\bar{\mathbf{e}}$  можно оставить пустыми, что комплекс будет трактовать как нулевые значения, а в третье поле введём число  $l$ ). Обратившись к пункту **s0,v0**, наберём в поле **s0** значение  $\theta_1$  (в градусах).

При **i=2** типом ЭП будет уже **tt** (с тем же вектором  $\bar{\mathbf{e}}$ ). Поскольку соответствующий параметр Денавита – Хартенберга представляет собой заданную функцию времени  $q_1(t)$ , то вместо пункта **s0,v0** обратимся к пункту **s(t),f** и в соответствующем поле этого пункта наберём **q1(t)** (напоминаем, что функции **q1** отвечает подпрограмма на Паскале, текст которой приводился в параграфе 1).

При **i=3** и **i=4** в качестве типа ЭП задаются **rc** и **tc**. При этом поворот на угол  $\alpha_1$  задаётся так же, как и поворот на  $\theta_1$  (только в качестве вектора  $\bar{\mathbf{e}}$  выступает единичный вектор оси  $x$ ), а вот для задания смещения вдоль оси  $x$  на  $a_1$  следует непосредственно задать вектор смещения (т.е. в первом из полей с компонентами вектора  $\bar{\mathbf{e}}$  ввести значение  $a_1$ , а остальные поля оставить пустыми).

Данные для остальных шарниров вводятся аналогично.

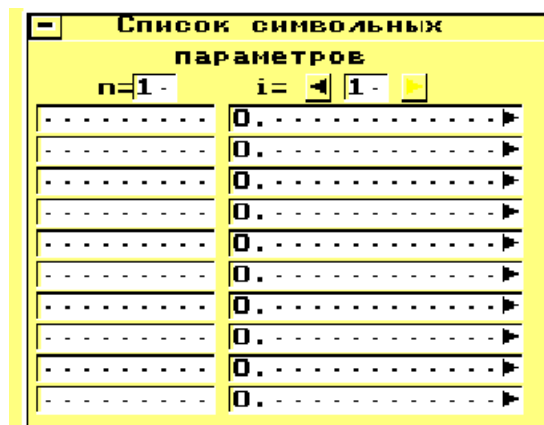
Обратите внимание: при вводе информации о шарнирах Вы фактически дали комплексу **УМ** обязательство разработать подпрограммы **q1, ..., q6**. В них будут использоваться символические параметры **a1, b1, n1, a2, ..., n6**. Поэтому нужно сообщить комплексу о существовании этих параметров и присвоить им некоторые значения (которые потом можно будет оперативно менять).

Это делается в пункте **Символ** основного меню программы ввода.

При выходе на этот пункт и нажатии клавиши **Enter** на экране появляется меню **Список символьных параметров**. Список параметров может быть достаточно длинным и состоит из набора таблиц, каждая из которых включает по десять параметров (последняя таблица может быть заполнена частично). В поле **n=** программа указывает общее число таблиц, а в поле **i=** – номер текущей таблицы. В левой части каждой строки таблицы набирается имя параметра, а в правой – его численное значение. Для перехода к новой таблице дос-

таточно воспользоваться кнопкой с треугольником справа от номера.

После завершения ввода символьных параметров работу с программой графического ввода можно считать завершённой. Теперь обратимся к пункту **Запись** основного меню программы ввода, чтобы сохранить результаты своей деятельности. Заметим, что при правильном вводе данных должно появиться сообщение **Ошибки ввода не найдены**. Если вместо него Вы получили сообщение о том, что какие-то данные введены не полностью, следует продолжить работу с программой ввода.



Выход из программы ввода производится нажатием клавиши **Esc** и утвердительным ответом на вопрос: **Хотите ли Вы покинуть программу ввода?**

После выхода из программы ввода мы вновь окажемся в основном меню комплекса **UM**. Перейдём к пункту **Equation**. Здесь сначала выполняется вывод уравнений движения, затем – их оптимизация. На этапе оптимизации комплекс может задать Вам вопрос:

**Файл functn.pas уже существует. Переписать? (y/n)**

Если Вы впервые работаете с данной задачей, то следует ответить **y**. Тогда комплекс создаст файл с именем **functn.pas**, в котором разместит описания Ваших подпрограмм (в нашем примере они носят имена **q1**, ..., **q6**), но в этих программах операторы присваивания для **q1** и т.п. будут отсутствовать (чуть позже Вы их добавите).

Важное замечание: при повторной работе с задачей на указанный вопрос следует отвечать **n** (иначе все Ваши труды по корректировке файла **functn.pas** пропадут!).

После завершения оптимизации (если Вы работаете с данной задачей впервые) следует выйти на пункт **Edit** основного меню. Здесь Вы можете корректировать (с помощью текстового редактора интегрированной среды компилятора **Borland Pascal**) различные текстовые файлы, относящиеся к Вашей задаче. В данном случае речь идёт о корректировке файла **functn.pas**.

Для этого в меню пункта **Edit** выберем пункт **Equations**, а в нём – подпункт **Functions**. Корректировка осуществляется обычным образом. При этом требуется быть внимательными и не ошибиться при написании первой и второй производных от функций времени  $q_j(t)$  (обнаружить сделанные здесь ошибки будет весьма трудно!).

Выйти из текстового редактора можно по команде **Alt-X**.

Теперь выйдем на пункт **Postprocessor** основного меню, в котором выберем подпункт **Integration**, а в нём – подпункт **With compiling**. При этом запустится компилятор с Паскаля. Его рабо-

та продлится несколько секунд, после чего на экране возникнет заставка с надписью **Интегратор**. Нажмите **Enter**, и в ответ появится основная таблица модуля интегрирования.

При первом обращении к модулю интегрирования следует в поле **Время моделирования** задать значение  $t_{fin}$  (например, как на рисунке, 60 с), а затем перейти к пункту **Форма представления результатов** и нажать **Enter**. В меню, которое появится на экране, активным (выделенным жёлтым цветом) будет подпункт **Режим модификации окон**. Теперь Ваши действия таковы: надо, нажав **Enter**, выйти в подменю этого подпункта (в левой половине экрана появится пустое окно синего цвета) и сразу же (нажав два раза **Esc**) вернуться к основной таблице.

- Основная таблица модуля интегрирования уравнений движения объекта	
Имя задачи	UASIA.....
Конфигурация	Прочитать
Время моделирования	6.Е1.....
Параметры интегратора	[кнопка]
Формы представления результатов	[кнопка]
Начальные данные	[кнопка]
Конфигурация	Записать
	Интегрирование
	Анализ

пункту **Форма представления результатов** и нажать **Enter**. В меню, которое появится на экране, активным (выделенным жёлтым цветом) будет подпункт **Режим модификации окон**. Теперь Ваши действия таковы: надо, нажав **Enter**, выйти в подменю этого подпункта (в левой половине экрана появится пустое окно синего цвета) и сразу же (нажав два раза **Esc**) вернуться к основной таблице.

Смысл этих действий: Вы создаёте анимационное окно, в котором комплекс в дальнейшем будет показывать движение механизма.

Теперь нажмите на кнопку **Записать**. При этом текущая конфигурация модуля интегрирования вместе с произведённой только что настройкой будет сохранена на жёстком диске.

При последующих обращениях к модулю интегрирования этой задачи следует нажать на кнопку **Прочитать** (файл с конфигурацией будет при этом прочитан с диска), а повторно задавать значение  $t_{fin}$  и открывать анимационное окно уже не потребуется.

Перейдём теперь к пункту **Интегрирование**. На экране при этом появятся окно анимации с изображением манипулятора и таблица

Подготовка объекта	
Граф. вид	Конфигурация
Нач. условия	Параметры
Возврат	
Интегрирование	

**Подготовка объекта**. При необходимости можно обратиться к подпункту **Графический вид**, что позволяет изменить масштаб или ракурс изображения (последнее означает, что воображаемая камера, через которую Вы смотрите на манипулятор, разворачивается вокруг какой-либо оси или сдвигается).

Шаг, задающий вращение вокруг координатной оси, указывается в градусах (значение, используемое по умолчанию, равно  $10^\circ$ ). Поэтому, если потребовалось повернуть камеру в положительном направлении вращения (т.е. против хода часовой стрелки) на  $30^\circ$  вокруг оси  $x$ ,

Шаг, задающий вращение вокруг координатной оси, указывается в градусах (значение, используемое по умолчанию, равно  $10^\circ$ ). Поэтому, если потребовалось повернуть камеру в положительном направлении вращения (т.е. против хода часовой стрелки) на  $30^\circ$  вокруг оси  $x$ ,



то достаточно трижды нажать на кнопку с надписью **x**. Если же требуется повернуть её на такое же количество градусов в отрицательном направлении, то лучше войти в поле **Шаг** и набрать в нём  $-30^\circ$ . Шаг, задающий сдвиг, по умолчанию равен 0,1 м (впрочем, выбор единиц измерения длины, времени и массы при компьютерном моделировании носит во многом условный характер).

В подпункте **Параметры** можно изменить значения символьных параметров (тех самых, которые впервые задавались в программе графического ввода и могли быть затем изменены корректировкой файла **constfil.pas** с помощью текстового редактора). Перекомпиляция модуля интегрирования при этом не требуется.

После того, как всё это сделано, наступает решающий момент: обратившись к подпункту **Интегрирование** в таблице **Подготовка объекта**, Вы приступаете к численному интегрированию уравнений движения робота, созданного усилиями Вашего интеллекта. При этом на экране можно будет наблюдать его движение.

Применительно к рассматриваемой сейчас задаче это значит, что звенья робота будут совершать колебательные движения с теми амплитудами и частотами, которые были указаны в качестве значений символьных параметров.

После окончания процесса интегрирования его можно повторить, для чего вовсе не обязательно повторять процесс компиляции. Достаточно лишь нажать клавишу **Esc** и вернуться к основной таблице модуля интегрирования (при желании теперь можно увеличить время моделирования, изменить значения параметров интегратора, значения некоторых символьных параметров и т.д.).

В ходе интегрирования можно управлять камерой. Так, для того, чтобы приблизить (или отодвинуть) изображение, достаточно нажать на клавишу **+** (или **-**) в правой части клавиатуры. С помощью клавиш **←**, **↑**, **↓**, **→** можно двигать изображение в плоскости экрана. Для поворота в положительном направлении вокруг координатных осей используются клавиши с буквами **X**, **Y**, **Z**, а для поворота в противоположную сторону – те же клавиши, но при удерживаемой в нажатом положении клавише **Shift**.

Нажатие клавиши **W** приостанавливает процесс интегрирования, а если нажать её ещё раз, то в верхней части окна анимации появится строка с клавишами управления изображением. Первая из них служит для закрытия окна анимации. Следующие три (с круговыми стрелками) – для выполнения поворотов вокруг соответствующих осей. Последующие две (со взаимно противоположными стрелками) – для сдвига



изображения. Две следующие клавиши позволяют приблизить изображение или отодвинуть его. Клавиша с буквой **R (Restore)** служит для восстановления начального ракурса изображения. Наконец, последняя клавиша позволяет вывести в другом окне графики координат и скоростей.

Приостановить процесс интегрирования (сделать паузу) можно нажатием какой-либо клавиши (например, пробела). Для продолжения интегрирования следует нажать клавишу **Enter**. Если потребовалось прервать процесс досрочно, то достаточно нажать клавишу **Q (Quit)**.

Мы рекомендуем поэкспериментировать с Вашей компьютерной моделью, меняя значения символьных параметров, и получить тем самым достаточно полное представление о кинематических возможностях Вашего манипулятора. Это поможет Вам решить более сложную задачу, к рассмотрению которой мы сейчас и переходим.

### Глава 3. Решение обратной задачи кинематического анализа шестизвенного манипулятора

Рассмотрим один из вариантов постановки задачи об управлении (на кинематическом уровне) движением шестизвенного манипулятора. Выполнение её предусматривает многократное решение обратной задачи о скоростях.

#### 3.1. Постановка обратной задачи кинематики

*Задача о работе-бармене.* Манипулятор, конфигурация которого при  $t = 0$  известна, начинает движение из состояния покоя. Требуется за заданное время  $t_{\text{fin}}$  подвести схват к переносимому объекту, захватить его и переставить на новое место. Радиусы-векторы  $\bar{\mathbf{r}}_A$  и  $\bar{\mathbf{r}}_B$  начального (точка  $A$ ) и конечного (точка  $B$ ) положений центра объекта, а также максимальная высота  $H$  подъёма объекта даны (при этом  $\bar{\mathbf{r}}_A = \bar{\mathbf{r}}_B$ ). Необходимо найти, как в процессе движения изменяются координаты в сочленениях  $q_j$  и скорости в сочленениях  $\dot{q}_j$ .

Предполагаем, что ось  $Oz$  направлена вверх. Пусть  $t_{\text{fin}} = 40$  с.

Обсудим общий порядок решения задачи.

Сначала выясним, где в начальный момент находится центр схвата и какова при этом ориентация схвата (для этого достаточно решить при  $t = 0$  по рекуррентным формулам (14) прямую задачу геометрии движения и найти верзор схвата, а тем самым – радиус-вектор  $\bar{\mathbf{r}}_C$  текущего положения центра схвата и оператор ориентации  $\bar{\mathbf{T}}_7$ ).

Теперь надо запрограммировать движение схвата: обеспечить, чтобы в некоторый момент времени точка  $C$  совпала с  $A$ , а вектор подхода  $\bar{\mathbf{a}}$  оказался направленным вертикально вниз, после чего (не меняя уже значения вектора  $\bar{\mathbf{a}}$  – чтобы не расплескать содержимое!) изменять  $\bar{\mathbf{r}}_C$  так, чтобы в конце концов точка  $C$  совпала с  $B$  (причём в процессе этого перемещения координата  $z_C$  должна сначала увеличиться на  $H$ , а затем на столько же уменьшиться).

Если программный закон движения схвата известен, то задача вычисления координат в сочленениях как функций времени  $t$  как раз и представляет собой обратную задачу кинематического анализа манипулятора. Решение её будет обсуждаться далее.

Сейчас же рассмотрим программирование движения схвата.

Далее мы воспользуемся понятием *элементарной транспортной операции* [16]. Такую операцию задают по отдельности для каждой координаты. Суть её заключается в плавном изменении значения этой координаты от одного заданного значения до другого, причём в начальный и конечный моменты времени первая и вторая производные данной координаты должны равняться нулю.

В общем случае элементарная транспортная операция будет состоять из шести этапов. Моменты времени, отвечающие смене этапов, обозначим  $\tau_0, \dots, \tau_6$ .

(Строго говоря, это справедливо для первой по счёту элементарной транспортной операции; для второй границами этапов будут  $\tau_6, \dots, \tau_{12}$ , и т.д.).

Например, пусть  $\eta$  – одна из функций  $v_{Cx}(t), v_{Cy}(t), v_{Cz}(t), \omega_x(t), \omega_y(t), \omega_z(t)$ .

Тогда примем, что: на этапе I  $\eta = 0$ ; на этапе II  $\eta$  ускоренно возрастает; на этапе III  $\eta$  тоже возрастает, но замедленно; на этапе IV  $\eta = \text{const}$ ; на этапе V  $\eta$  ускоренно убывает; на этапе VI  $\eta$  убывает, но замедленно.

Пусть  $T_N \equiv \tau_1 - \tau_0$  – длительность этапа I,  $T_M \equiv \tau_6 - \tau_1$  – длительность пяти остальных, а  $T_C \equiv \tau_4 - \tau_3$  – длительность этапа IV. Потребуем для определённости, чтобы длины этапов II, III, V и VI были одинаковыми и равными  $T_* = (T_M - T_C)/4$ .

Требуем, далее, чтобы функция  $\eta(t)$  была кусочно-квадратичной и принадлежала классу  $C^1$  (так что координаты будут функциями класса  $C^2$ ). Пусть  $i$  – номер этапа элементарной транспортной операции ( $i = 0, \dots, 5$ ).

Введём вспомогательную переменную  $s = \frac{t - \tau_i}{\tau_{i+1} - \tau_i} \in [0, 1]$ .

Обозначим  $S = 1 - s$ . В этом случае для  $\eta(t)$  получаем следующие выражения на различных этапах данной элементарной транспортной операции: 0 при  $i = 0$ ;  $as^2$  при  $i = 1$ ;  $2a - aS^2$  при  $i = 2$ ;  $2a$  при  $i = 3$ ;  $2a - as^2$  при  $i = 4$ ;  $aS^2$  при  $i = 5$ .

Выбор значения  $a$  рассмотрим на примере. Пусть  $\eta = v_{Cx}$ ; положим

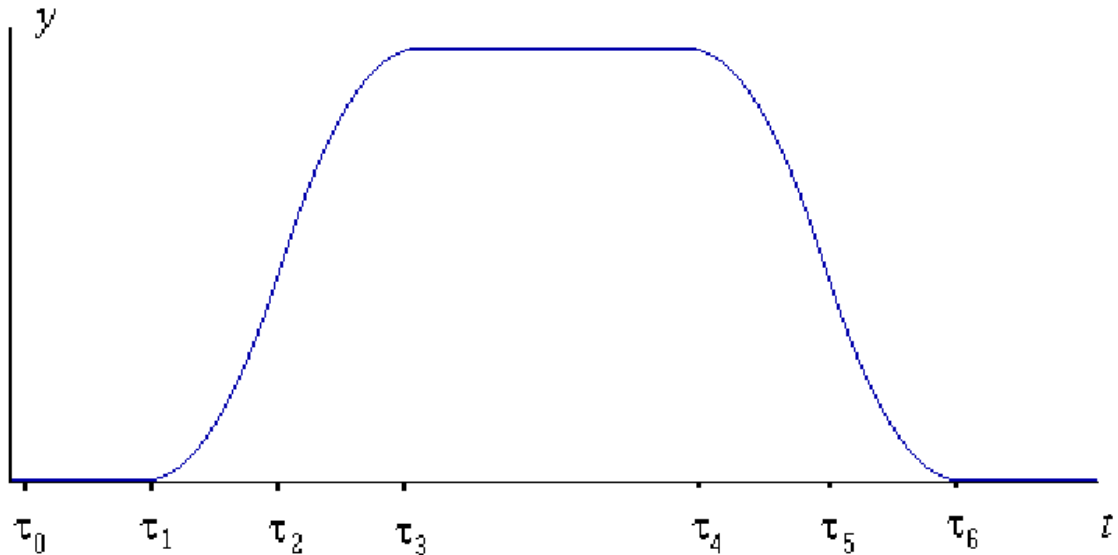
$$\xi = \int_0^t \eta dt \equiv x_C .$$

Изменение  $x_C$  за время моделирования реализуется с помощью двух элементарных транспортных операций, для которых соответственно

$$\Delta\xi = \int_{\tau_0}^{\tau_6} \eta dt \equiv x_A - x_C(0) \quad \text{и} \quad \Delta\xi = \int_{\tau_6}^{\tau_{12}} \eta dt \equiv x_B - x_A ,$$

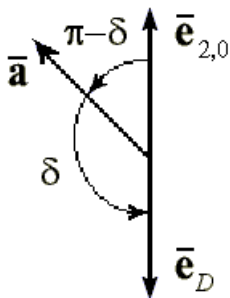
откуда, вычисляя интегралы, находим:  $a = \frac{\Delta\xi}{T_M + T_C}$ .

Тем самым функция  $\eta(t)$  полностью определена. Её график выглядит следующим образом:



Для случая  $\eta = v_{Cy}$  всё делается аналогично. Для более сложного случая  $\eta = v_{Cz}$  (когда имеется три элементарные транспортные операции), константы  $\Delta\xi$  соответственно будут равны  $z_A - z_C(0)$ ,  $H$  и  $-H$ .

Что касается случая  $\eta = \omega_x$ , то требуется, чтобы к моменту захвата объекта вектор подхода  $\bar{\mathbf{a}}$  был направлен вниз, оставаясь таким и далее — до конца движения (при  $t = 0$  этот вектор произволен). Пусть  $\bar{\mathbf{e}}_D$  — орт, направленный вниз ( $\bar{\mathbf{e}}_D = -\bar{\mathbf{e}}_{2,0}$ ),  $\bar{\mathbf{a}}^\circ$  — начальное значение вектора подхода. Обозначим через  $\delta$  текущий угол между оортами  $\bar{\mathbf{a}}$  и  $\bar{\mathbf{e}}_D$  (он равен  $\arccos(-a_z)$ ), а через  $\delta^\circ$  — начальное значение этого угла. Вычислим единичный вектор  $\bar{\mathbf{e}} \uparrow [\bar{\mathbf{a}}^\circ, \bar{\mathbf{e}}_D]$  и потребуем, чтобы на отрезке времени, заканчивающемся захватом объекта, выполнялся поворот на угол  $\delta^\circ$  вокруг оорта  $\bar{\mathbf{e}}$ , а потом (на стадии переноса объекта из точки  $A$  в точку  $B$ ) ориентация схвата не менялась.



Всё это можно реализовать с помощью двух элементарных транспортных операций, для которых  $\Delta\xi$  будут равны соответственно  $\delta^\circ e_x$  и 0. Аналогичные формулы верны и при  $\eta = \omega_y$  или  $\eta = \omega_z$ .

Итак, программное движение схвата построено.

Отметим, что функции, описывающие зависимость координат от времени, в действительности представляют собой кубические сплайны.

Рассмотрим теперь решение задачи о роботе-бармене с помощью типовой программы **kin\_31.c** и программного комплекса **UM**.

### 3.2. Работа с типовой программой **kin\_31.c**

Обсудим порядок выполнения задания практикума путем непосредственного программирования расчётных формул на языке Си.

Воспользуемся тем же подходом, что и в [20]: готовую программу, рассчитанную на решение конкретного варианта задания (условно – 31-го, откуда и название типовой программы), студенту предлагается приспособить для решения своего варианта, т.е. он свою собственную программу разрабатывает на основе типовой.

Для этого, прежде всего, скопируем в файл с новым именем содержимое файла **kin\_31.c**.

Далее, используя любой текстовый редактор (например, интегрированную среду системы программирования Турбо Си), исправим в строках комментария, образующих в совокупности заглавие этого файла, название файла, дату его создания и фамилию разработчика.

После этого приступаем к корректировке описаний исходных данных, которые размещены в тексте программной единицы **main**.

Здесь задаётся следующая информация: 1) описание структуры и геометрии манипулятора и его начальной конфигурации, представленное массивами **Lam [6]** и **Miu [6]** структурных констант  $\lambda_j$  и  $\mu_j$  и массивом **DH [7] [4]** параметров Денавита – Хартенберга; 2) начальное и конечное положения центра объекта, т.е. заданные в массивах **rA [3]** и **rB [3]** координаты точек *A* и *B*; 3) максимальная высота *H* подъёма объекта при переносе его из точки *A* в точку *B*; 4) номер варианта – целая константа **var**; 5) массивы **durX [3\*2]** и **durZ [3\*3]** (содержимое этих двух массивов менять не следует).

Массив **durX [3\*2]** содержит две тройки констант  $T_N$ ,  $T_M$ ,  $T_C$ , задающих длительности этапов элементарных транспортных операций для функций  $v_{Cx}(t)$ ,  $v_{Cy}(t)$ ,  $\omega_x(t)$ ,  $\omega_y(t)$ ,  $\omega_z(t)$ .

В массиве **durZ [3\*3]** находятся аналогичные константы для функции  $v_{Cz}(t)$ .

После внесения необходимых исправлений следует выйти из текстового редактора и с помощью командного файла **pgm.bat** скомпи-

лизовать программу. Теперь можно начинать моделирование.

Обсудим схему решения обратной задачи кинематического манипулятора, реализованную в программе **kin\_31.c**.

Если закон движения схвата известен, то можно найти зависимость от времени угловой скорости  $\bar{\omega}_7$  схвата и линейной скорости  $\bar{\mathbf{v}}_C$  его центра.

Тем самым будет найдено и блочное представление кинематического винта схвата относительно полюса  $C$ :

$$\bar{\mathbf{U}}_7 \sim \bar{\mathbf{U}}_C \equiv \begin{pmatrix} \bar{\omega}_7 \\ \bar{\mathbf{v}}_C \end{pmatrix}.$$

После этого нетрудно получить и аналогичное представление относительно полюса  $O$ :

$$\bar{\mathbf{U}}_7 \sim \bar{\mathbf{U}}_O \equiv \begin{pmatrix} \bar{\omega}_7 \\ \bar{\mathbf{v}}_O \end{pmatrix}, \quad \bar{\mathbf{v}}_O \equiv \overset{\vee}{\bar{\mathbf{r}}}_C \bar{\omega} + \bar{\mathbf{v}}_C. \quad (21)$$

Система линейных уравнений (19) в нашем случае имеет вид

$$U_7 = A_K \dot{q}, \quad (22)$$

а столбец  $U_7$  совпадает со столбцом компонент блочного вектора  $\bar{\mathbf{U}}_O$ .

Таким образом, столбец  $\dot{q}$  скоростей в сочленениях можно вычислить, решив систему линейных уравнений (22) одним из численных методов; программа **kin\_31.c** использует для этой цели *метод LU-разложения* [21].

С этой целью программа обращается к процедурам **LUdek** и **LUsol** из библиотеки **tmx.lib** (последняя разработана на кафедре теоретической механики МЭИ и содержит объектные модули, полученные в результате компиляции написанных на языке Си процедур, которые позволяют решать различные задачи вычислительной математики и выполняют некоторые сервисные функции).

Отметим, что процедура **LUdek** предназначена для разложения невырожденной матрицы  $A$  в произведение двух матриц: нижней треугольной  $L$  и верхней треугольной  $U$ ; процедура **LUsol** – для вычисления решения системы линейных уравнений  $Ax = b$  при условии, что такое разложение получено.

Для нахождения координат в сочленениях численно решается задача Коши для дифференциальных уравнений

$$\frac{dq}{dt} = \dot{q} \quad (23)$$

на отрезке времени  $[0, t_{\text{fin}}]$ .

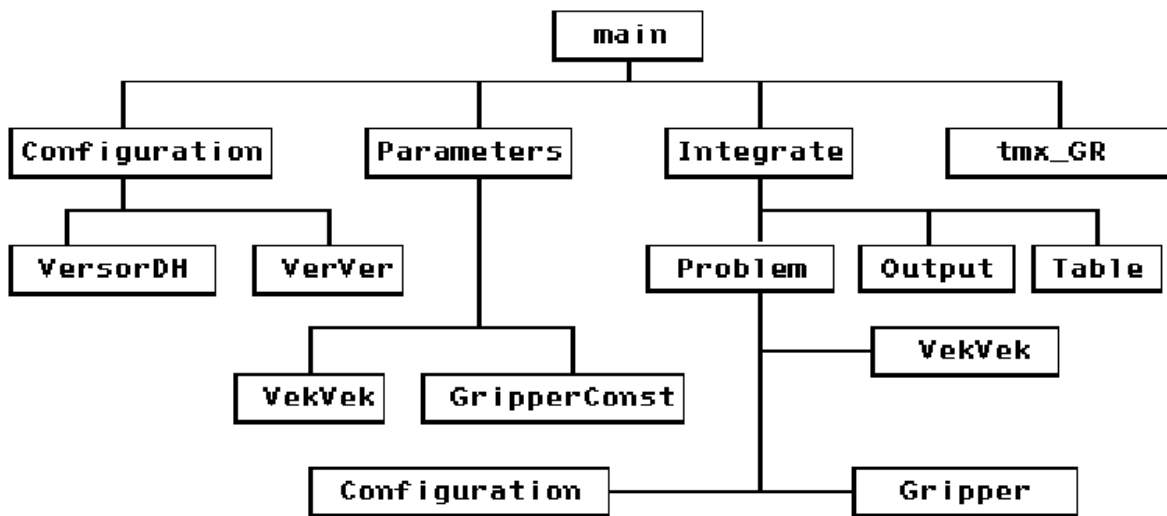
Заметим, что для удобства последующего анализа программа **kin\_31.c** осуществляет вывод результатов в числовой и графической форме. В частности, после окончания интегрирования уравнений (23) на экран видеомонитора выводятся графики, показывающие изменение с течением времени компонент векторов  $\bar{\mathbf{r}}_C$  и  $\bar{\mathbf{a}}$  и величин  $q_j$  и  $\dot{q}_j$ .

Построение графиков обеспечивается вызовом сервисной проце-

дуры **tmx\_GR** из библиотеки **tmx.lib**.

Рассмотрим структуру и состав типовой программы **kin\_31.c**.

Прежде всего, приведём структурную схему этой программы:



В соответствии с приведённой схемой в состав типовой программы **kin\_31.c** входят следующие программные единицы:

1) программная единица **main**, в которой задаются исходные данные и последовательно вызываются подпрограммы **Initialize**, **Parameters**, **Integrate**, а также (несколько раз) сервисная процедура **tmx\_GR**;

2) подпрограмма **Initialize** (на схеме не показана), которая выводит на экран таблицу начальных значений параметров Денавита – Хартенберга, а затем осуществляет в массиве **DH** (который содержит значения этих параметров) переход от градусной меры углов к радианной и вызывает подпрограмму **Configuration** с целью расчёта начальной конфигурации манипулятора;

3) подпрограмма **Parameters**, которая вычисляет параметры начальной ориентации схвата, а после этого вызывает подпрограмму **GripperConst** и выводит вычисленные значения на экран;

4) подпрограмма **Integrate**, обеспечивающая численное решение задачи Коши для системы дифференциальных уравнений (23);

5) подпрограмма **Configuration**, отвечающая за решение прямой задачи о положениях манипулятора;

6) подпрограмма **GripperConst**, которая вычисляет константы, определяющие кусочно-полиномиальное представление используемых сплайнов (т.е. моменты времени  $\tau_i$  и соответствующие значения  $a$ );

7) подпрограмма **Problem**, вызываемая из **Integrate** для нахождения правых частей системы (23) путём решения обратной задачи о скоростях;

8) подпрограмма **Gripper**, вычисляющая в текущий момент времени  $t$  программные значения компонент блочного вектора  $\bar{U}_C$ ;

9) подпрограмма **VersorDH**, вызываемая из **Configuration** с целью расчёта относительных верзоров  $\bar{\mathbf{G}}_{ij}$  по формулам (10)–(12);

10) подпрограмма **VerVer**, обеспечивающая вычисление произведения двух верзоров;

11) подпрограмма **VekVek**, которая соответственно выполняет операцию векторного умножения;

12) подпрограмма **PrMat** (на схеме не показана), вызываемая из **Parameters** и обеспечивающая вывод на экран матриц и столбцов с соответствующими заголовками;

13) подпрограмма **Output**, вызываемая из **Integrate** и обеспечивающая сохранение в рабочих массивах очередной порции результатов интегрирования, а также вывод части полученных результатов на экран (речь идёт о компонентах векторов  $\bar{\mathbf{r}}_C$  и  $\bar{\mathbf{a}}$ );

14) подпрограмма **Tables**, вызываемая на заключительном этапе работы **Integrate** и выводящая на экран последовательно таблицы значений переменных  $q_j$  и  $\dot{q}_j$ .

Остановимся немного подробнее на отдельных подпрограммах.

Подпрограмма **Parameters** вычисляет (и выводит на экран) векторы  $\bar{\mathbf{r}}_C(0)$  и  $\bar{\mathbf{a}}^\circ$ , угол  $\delta^\circ$  и орт  $\bar{\mathbf{e}}$  оси поворота схвата. Вычисляются также угол  $\beta$  (о нём несколько слов скажем ниже), и – с помощью подпрограммы **GripperConst** – моменты времени  $\tau_i$ .

По поводу угла  $\beta$ : напомним, что на отрезке времени, заканчивающемся захватом объекта, изменение ориентации схвата сводится к повороту вокруг неподвижного орта  $\bar{\mathbf{e}}$ ; на стадии же переноса объекта ориентация не меняется, а вектор  $\bar{\mathbf{a}} \equiv \bar{\mathbf{e}}_{2,7}$  совпадает по направлению с вектором  $\bar{\mathbf{e}}_D \equiv -\bar{\mathbf{e}}_{2,0}$ .

Это означает, что в любой момент времени поворот вокруг орта  $\bar{\mathbf{e}}$  на угол  $\pi - \delta$  совмещает орт  $\bar{\mathbf{e}}_{2,0}$  с ортом  $\bar{\mathbf{e}}_{2,7}$ . Для совмещения орта  $\bar{\mathbf{e}}_{0,0}$  с ортом  $\bar{\mathbf{n}} \equiv \bar{\mathbf{e}}_{0,7}$  достаточно выполнить поворот на некоторый постоянный угол  $\beta$  (тогда и орт  $\bar{\mathbf{e}}_{1,0}$  совместится с ортом  $\bar{\mathbf{o}} \equiv \bar{\mathbf{e}}_{1,7}$ ).

Представим матрицу  $\Gamma_7$  оператора ориентации схвата в виде произведения  $\Gamma_7 = \Gamma_{\pi-\delta} \Gamma_\beta$  матриц поворота на углы  $\pi - \delta$  и  $\beta$  вокруг векторов  $\bar{\mathbf{e}}$  и  $\bar{\mathbf{e}}_{2,0}$ . Поскольку при  $t = 0$  матрица  $\Gamma_7$  и угол  $\delta$  известны, причём

$$\Gamma_7 = \begin{pmatrix} n_x & o_x & a_x \\ n_y & o_y & a_y \\ n_z & o_z & a_z \end{pmatrix}, \quad \Gamma_\beta = \begin{pmatrix} \cos \beta & -\sin \beta & 0 \\ \sin \beta & \cos \beta & 0 \\ 0 & 0 & 1 \end{pmatrix},$$

$$\Gamma_{\pi-\delta} = \cos(\pi-\delta)I + (1-\cos(\pi-\delta))e \otimes e + \sin \delta \check{e}$$

(знак  $\otimes$  обозначает операцию тензорного умножения), то, обозначая через  $c_{ij}$  компоненты матрицы  $\Gamma_{\pi-\delta}$  и вычисляя два элемента левого столбца матрицы  $\Gamma_\beta \equiv \Gamma_{\pi-\delta}^\top \Gamma_7$ , имеем:

$$\cos \beta = c_{00} n_x + c_{10} n_y + c_{20} n_z, \quad \sin \beta = c_{01} n_x + c_{11} n_y + c_{21} n_z.$$



Получив по этим формулам  $\cos \beta$  и  $\sin \beta$ , можно найти сам угол  $\beta$  как  $\beta = \text{atan2}(\sin \beta, \cos \beta)$ .

Численное решение задачи Коши в подпрограмме **Integrate** осуществляется обращением к модулю численного интегрирования дифференциальных уравнений **DPI** из библиотеки **tmx.lib**. В этом модуле реализован *метод Дормана – Принса* 5-го порядка точности [22], относящийся к семейству методов Рунге – Кутты.

Это – явный 7-стадийный метод, требующий шесть вычислений правых частей системы дифференциальных уравнений на шаге интегрирования и допускающий эффективное управление длиной шага в соответствии с заданным допуском  $\varepsilon_A$  для локальной погрешности.

С помощью непрерывного расширения [22] метода Дормана – Принса в модуле **DPI** реализована возможность вычисления значения решения в точках, не совпадающих с узлами сетки, что позволяет, в частности, обеспечить при необходимости приведение результатов интегрирования к равномерной сетке. Взаимодействие модуля с вызывающей программой организовано по принципу инверсного управления, так что он работает в пошаговом режиме (одно обращение к модулю на одно вычисление правых частей).

Подпрограмма **Integrate** обеспечивает инициализацию модуля **DPI** и его вызов в пошаговом режиме с запоминанием получаемых результатов, приведённых к равномерной сетке, в рабочих массивах. Часть этих результатов (по мере их получения) выводится на экран. По окончании решения задачи Коши подпрограмма **Integrate** осуществляет терминацию интегратора и обращается к подпрограмме **Tables** для вывода на экран остальных результатов интегрирования.

Вычисление правых частей системы (23), вынесенное в подпрограмму **Problem**, организовано следующим образом:

- подпрограмма перевычисляет значения переменных параметров в массиве **DH** в соответствии с текущими значениями координат в сочленениях;
- осуществляется вызов подпрограммы **Configuration** для расчёта текущей конфигурации манипулятора;
- вычисляется матрица  $A_K$  и выполняется её  $LU$ -разложение;
- находятся компоненты блочных векторов  $\bar{U}_C$  и  $\bar{U}_O$ ;
- наконец, путём решения системы (22) определяется столбец  $\dot{q}$ .

Подпрограмма **Output**, помимо вывода на экран текущих координат точки  $C$  и компонент вектора  $\bar{a}$ , выводит также число **ns** шагов интегрирования, выполненных к данному моменту времени  $t$ , и количество **nf** сделанных при этом вычислений правых частей системы (23) (эта информация бывает полезна при анализе процесса моделирования).

Заметим теперь, что при программировании движения схвата не учитывалась возможность выхода точки  $C$  в её программном движении за пределы рабочего пространства робота. Кроме того, не в любой точке этого рабочего пространства схват может иметь задан-

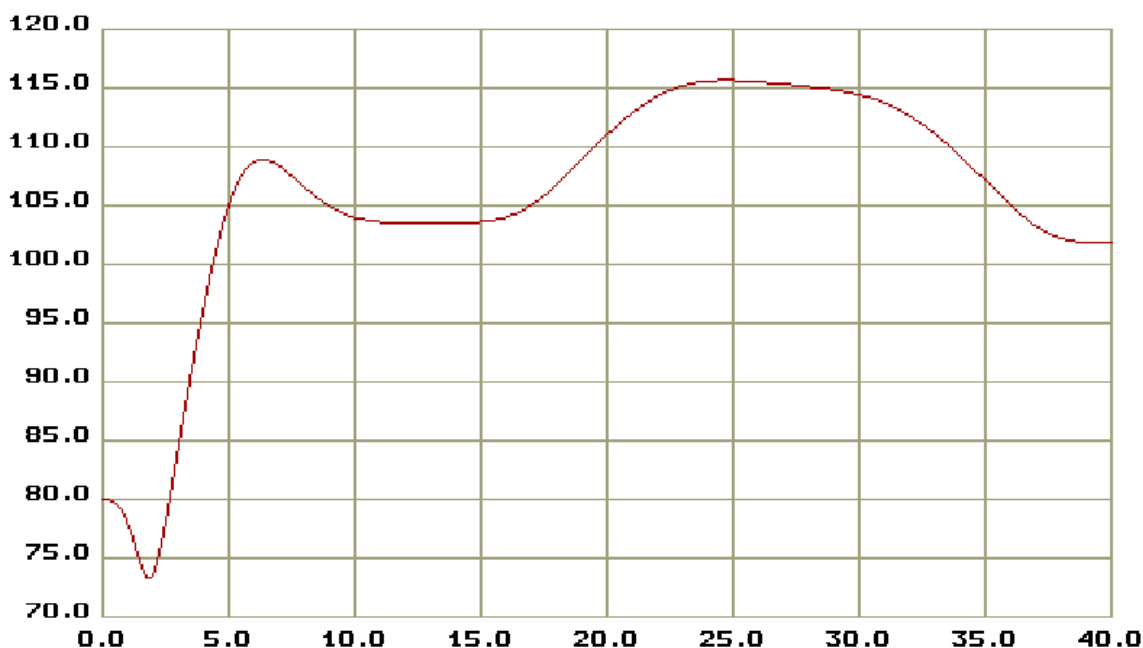
ную ориентацию. Задача анализа рабочего пространства шестизвеного манипулятора весьма сложна [2], и её решение при решении задачи о роботе-бармене не предусматривается, но с возможностью того, что описываемая ситуация встретится в процессе моделирования, Вам следует считаться.

Что же при этом происходит? Можно показать, что с приближением к границе рабочего пространства матрица  $A_K$  становится плохо обусловленной. На границе же рабочего пространства она оказывается вырожденной, а конфигурация манипулятора в этом случае является особенной.

Как это проявляется в ходе моделирования? На практике программа **kin\_31.c** либо выводит сообщение о том, что матрица оказалась вырожденной (этот факт обнаруживается процедурой **LUdek**), либо (что бывает чаще), резко уменьшает, начиная с некоторого момента времени  $t$ , шаг интегрирования, практически не продвигаясь вперёд – до тех пор, пока подпрограмма **Integrate** не прервёт моделирование (это происходит в случае, когда значение **nf** превысит заранее заданный предел, равный 20000).

В этом случае следует несколько изменить начальные данные – координаты точек  $A$  и  $B$  и высоту  $H$ . Если же вырождение наступило при  $t = 0$ , то надо менять уже содержимое массива **DN**, т.е. начальную конфигурацию манипулятора или его конструкцию.

В заключение приведём в качестве примера график функции  $q_2(t)$ , полученный для 31-го варианта задания.



### 3.3. Моделирование обратной задачи кинематики в комплексе УМ

Решение обратной задачи кинематического анализа манипулятора с помощью комплекса **УМ** облегчается тем, что Вы уже решали пря-

мую задачу кинематики для данного манипулятора и, следовательно, уже проделали трудоёмкую работу по вводу геометрических и кинематических характеристик манипулятора и созданию графических объектов. Воспользоваться результатами предыдущей работы можно так.

Прежде всего, нужно войти в среду комплекса **UM** и задать имя новой задачи, а после этого перейти к работе с программой графического ввода.

Войдя в эту программу, увидите в меню **Основная таблица** справа от пункта **Ввод** поле, в котором записано имя Вашей новой задачи. Наберите в этом поле имя старой задачи, выйдите на пункт **Ввод** и нажмите **Enter**. После этого вновь наберите в поле имя новой задачи и обратитесь к пункту **Запись**. Всё! Ваша новая задача теперь представляет собой почти точную копию старой (не будет скопирован файл **functn.pas**, но он Вам и не нужен: этот файл в обратной задаче кинематики будет совсем другим).

Теперь можно в программе графического ввода сделать необходимую корректировку. В частности, надо ввести изменения в описания шарниров.

Прежде всего, координаты в сочленениях более не являются известными функциями времени, а подлежат определению. Поэтому при описании сочленений манипулятора элементарные преобразования типа **tt** или **rt** следует заменить на ЭП типа **tv** или **rv**.

Далее, следует задать закон движения схвата. Как мы видели в предыдущем пункте, для этого достаточно знать неподвижный орт  $\bar{e}$ , постоянный угол  $\beta$  и функции времени  $\delta(t)$ ,  $r_{Cx}(t)$ ,  $r_{Cy}(t)$ ,  $r_{Cz}(t)$ .

Чтобы сделать всю эту информацию доступной для комплекса **UM**, введём 7-й (воображаемый) шарнир, соединяющий основание со схватом и определяемый цепочкой из пяти элементарных преобразований. Первые три имеют тип **tt** и определяют сдвиги вдоль координатных осей на  $r_{Cx}$ ,  $r_{Cy}$  и  $r_{Cz}(t)$ , переводя точку  $O$  в точку  $C$ .

Четвёртое (типа **rt**) определяет поворот вокруг орта  $\bar{e}$  на угол  $\pi - \delta$ , а пятое (типа **rc**) – поворот вокруг оси  $z$  на угол  $\beta$ .

Таким образом, описание 7-го шарнира должно иметь следующий вид (таким его можно увидеть в файле **input.dat**):

```
with joint7; type=comm; bd1=0; bd2=6;
  with et; type=tt; ex=1;
    s(t)=rCx(t);
  with et; type=tt; ey=1;
    s(t)=rCy(t);
  with et; type=tt; ez=1;
    s(t)=rCz(t);
  with et; type=rt; ex=<ex>; ey=<ey>; ez=<ez>;
    s(t)=3.1415926-Del(t);
  with et; type=rc ; ez=1.; s0=<β>;
```

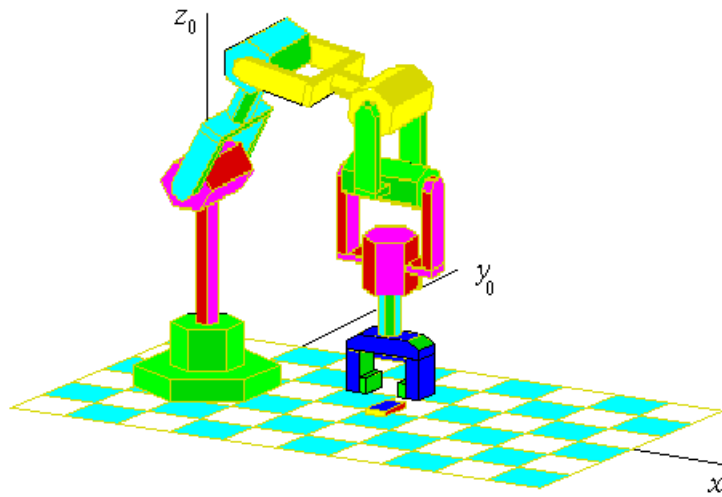
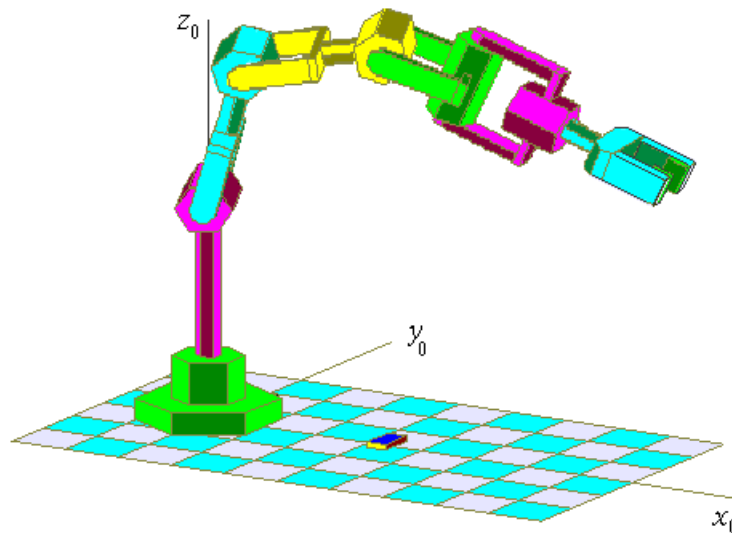
Вместо взятых в угловые скобки значений параметров следует подставить полученные программой **kin\_31.c** числовые значения.

Разумеется, подпрограммы с именами **rCx**, **rCy**, **rCz**, **Del** должны существовать. В данной задаче можете воспользоваться стандартным файлом **functn.pas**, содержащим их тексты. Предусматривается, что с помощью программы графического ввода (пункт **Символ** основного меню) или сразу в файле **constfil.pas** Вы определяете следующие символические параметры: **gCx**, **gCy**, **gCz** – начальные координаты точки *C*; **gAx**, **gAy**, **gAz**, **gBx**, **gBy**, **gBz** – координаты точек *A* и *B*; **H** и **delta** – значения *H* и  $\delta^\circ$ .

Не забудьте, что при первом обращении к модулю интегрирования Вам нужно в поле **Время моделирования** задать значение  $t_{fin}$ , равное 40 с, и сохранить конфигурацию.

Приведём пару изображений, полученных в анимационном окне модуля интегрирования при решении задачи о роботе-бармене.

На первом из них манипулятор показан в начальной конфигурации, на втором – непосредственно перед захватом объекта (спичечного коробка).



## ЛИТЕРАТУРА

## Рекомендуемая

1. **Воробьёв Е.И., Попов С.А., Шевелёва Г.И.** Механика промышленных роботов. Кн. 1: Кинематика и динамика. М.: Высш. шк., 1988. 304 с.
2. **Шахинпур М.** Курс робототехники. М.: Мир, 1990. 527 с.
3. **Кострикин А.И., Манин Ю.И.** Линейная алгебра и геометрия. М.: Наука, 1986. 304 с.

## Использованная

4. **Яглом И.М.** Математические структуры и математическое моделирование. М.: Сов. Радио, 1980. 144 с.
5. **Осадченко Н.В.** Метод винтов в вычислительной механике // Проблемы механики управляемых систем, машин и механизмов: Межвузовск. тематич. сб. № 77. М.: Моск. энерг. ин-т, 1985. С.61–68.
6. **Диментберг Ф.М.** Теория винтов и её приложения. М.: Наука, 1978. 328 с.
7. **Аксельрод Б.В.** Описание динамики манипуляторов с применением теории винтов // Изв. АН СССР. Мех. твёрд. тела. 1985. № 2. С.79–84.
8. **Liu Yanzhu.** Screw-Matrix Method in Dynamics of Multibody Systems // Acta Mechanica Sinica. 1988. Vol.4. № 2. P.165–174.
9. **Селиг Дж.М.** Применение теории винтов в динамике роботов // Прикл. математика и механика. 1991. Т.55. Вып.2. С.201–211.
10. **Айзерман М.А.** Классическая механика. М.: Наука, 1974. 368 с.
11. **Арнольд В.И.** Математические методы классической механики. М.: Наука, 1989. 472 с.
12. **Трусделл К.** Первоначальный курс рациональной механики сплошных сред. М.: Мир, 1975. 592 с.
13. **Болтянский В.Г.** Оптимальное управление дискретными системами. М.: Наука, 1973. 448 с.
14. **Бурбаки Н.** Алгебра. Алгебраические структуры. Линейная и полилинейная алгебра. М.: Физматгиз, 1962. 516 с.

15. **Гантмахер Ф.Р.** Теория матриц. М.: Наука, 1988. 552 с.
16. **Корецкий А.В., Осадченко Н.В.** Метод винтов и решение на ЭВМ задач кинематического анализа манипуляционных роботов // Тезисы докладов международной конференции “Информационные средства и технологии”. Т. 2. М.: Изд-во “Станкин”, 1996. С.48–53.
17. **Булгаков Б.В.** Колебания. М.: Гостехиздат, 1954. 892 с.
18. **Корецкий А.В., Осадченко Н.В., Погорелов Д.Ю.** Практика моделирования робототехнических систем средствами программного комплекса “Универсальный механизм” // Тезисы докладов международной конференции “Информационные средства и технологии”. Т. 2. М.: Изд-во “Станкин”, 1996. С.54–59.
19. **Погорелов Д.Ю.** Введение в моделирование динамики систем тел. Брянск: Брянский гос. техн. ун-т, 1997. 156 с.
20. **Новожилов И.В., Зацепин М.Ф.** Типовые расчёты по теоретической механике на базе ЭВМ. М.: Высш. шк., 1986. 136 с.
21. **Воеводин В.В., Кузнецов Ю.А.** Матрицы и вычисления. М.: Наука, 1984. 320 с.
22. **Хайрер Э., Нерсётт С., Ваннер Г.** Решение обыкновенных дифференциальных уравнений. Нежёсткие задачи. М.: Мир, 1990. 512 с.

## Оглавление

Введение .....	3
1. Метод винтов и его применение для кинематического анализа манипуляционных роботов .....	4
1.1. О моделировании в вычислительной механике .....	4
1.2. Матрично-операторные методы в кинематике абсолютно твёрдого тела .....	5
1.3. Кинематические винты .....	12
1.4. Координаты Денавита – Хартенберга .....	15
1.5. Рекуррентные формулы кинематики для манипуляционного робота .....	17
2. Моделирование кинематики манипуляционных роботов средствами комплекса <b>UM</b> .....	20
2.1. Постановка прямой задачи кинематики .....	20
2.2. Программный комплекс <b>UM</b> (“Универсальный механизм”) .....	23
3. Решение обратной задачи кинематического анализа шестизвенного манипулятора .....	34
3.1. Постановка обратной задачи кинематики .....	34
3.2. Работа с типовой программой <b>kin_31.c</b> .....	37
3.3. Моделирование обратной задачи кинематики в комплексе <b>UM</b> .....	42
Литература .....	45

*Учебное издание*

**Корецкий Александр Владимирович  
Осадченко Николай Владимирович**

**КОМПЬЮТЕРНОЕ МОДЕЛИРОВАНИЕ КИНЕМАТИКИ  
МАНИПУЛЯЦИОННЫХ РОБОТОВ**

Методическое пособие

по курсу

“Вычислительная механика”

для студентов, обучающихся по специальности  
“Роботы и робототехнические системы”

Редактор издательства О.М. Горина

ЛР № 020528 от 05.06.97

---

Темплан издания МЭИ 2000 (I), метод.

Подписано к печати 30.01.2000 г.

Формат 60 × 84 / 16

Физ. печ. л. 3,0

Тираж 300

Изд. № 13

Заказ 277

---

Издательство МЭИ, 111250, Москва, Красноказарменная, д. 14  
Типография ЦНИИ “Электроника”, 117415, Москва,  
просп. Вернадского, д. 39